



### **Tutoriale T3**

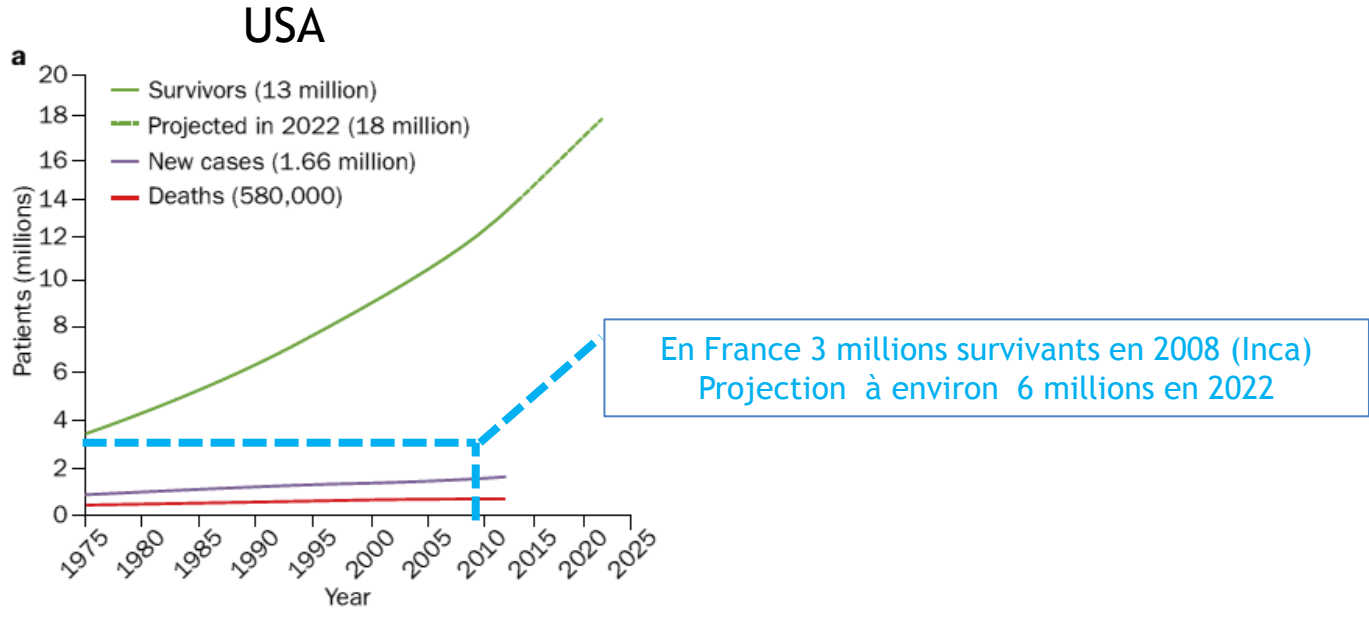
# Effets secondaires de la radiothérapie sur les tissus sains

# Nouvelles techniques Nouvelles techniques Nouvelle recherche ?

Fabien Milliat

IRSN, Laboratoire de Recherche en Radiobiologie et Radiopathologie Fontenay-aux-Roses, France

### Survivants du cancer et qualité de vie



Hauer-Jensen et al 2014



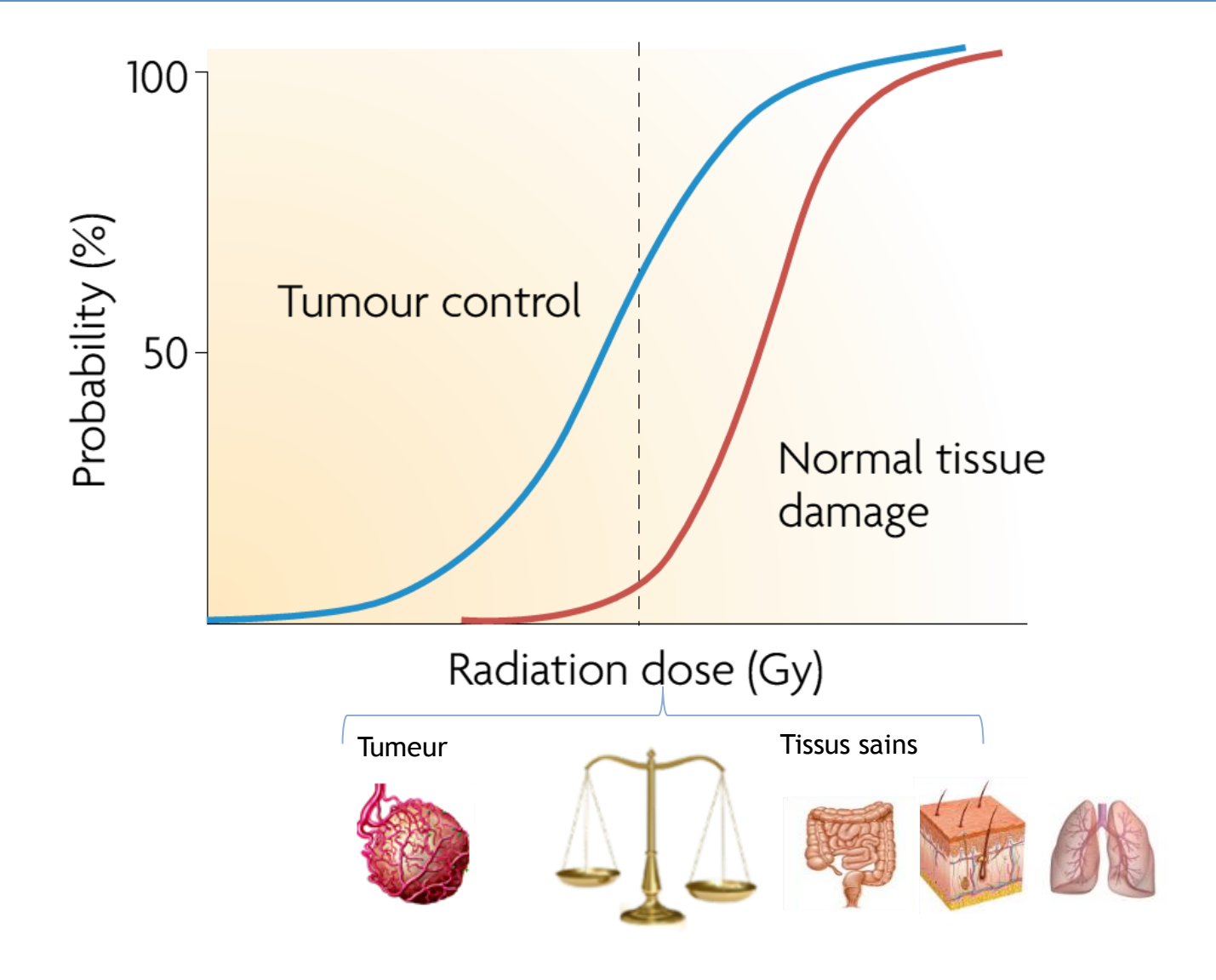
PRÉSERVER LA CONTINUITÉ ET LA QUALITÉ DE VIE

Réduire les risques de séquelles et de second cancer











ETAT DES LIEUX ET DES CONNAISSANCES

# OBSERVATOIRE NATIONAL DE LA RADIOTHÉRAPIE

Situation fin 2013 et évolution depuis 2009









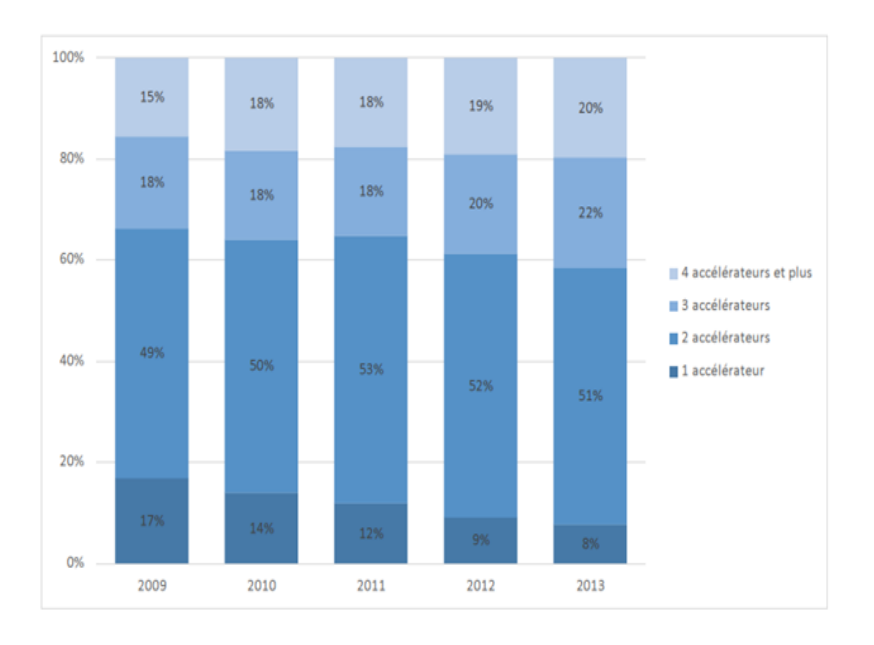




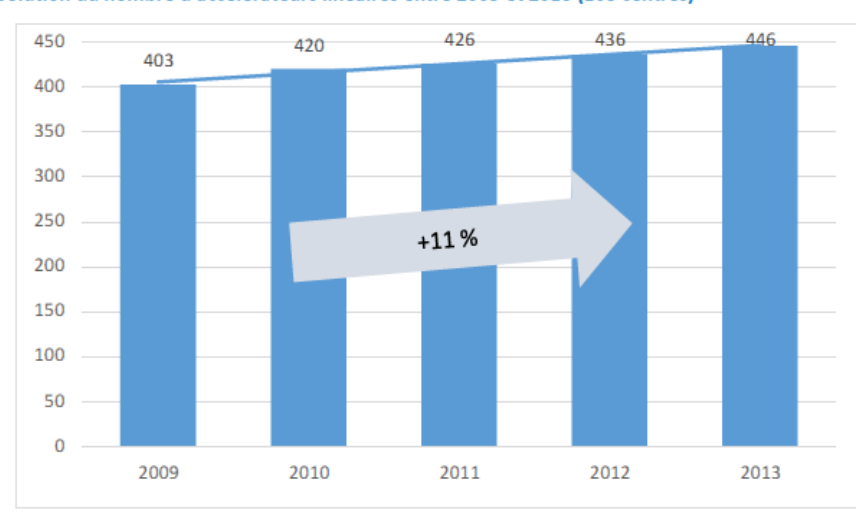
Répartition des centres par statut et participation à l'Observatoire 2013

	Nombre de centres recensés en 2013	Nombre de centres participant à l'Observatoire 2014 (sur les données 2013)
Privé	87	84
Cabinet libéral	84	81
Établissement de santé privé	3	3
Public	85	83
CH <sup>1</sup>	36	35
CHU/CHR	22	21
CLCC	21	21
ESPIC <sup>2</sup> (hors CLCC)	6	6
Total	172	167

Figure 3 – Répartition des centres de radiothérapie d'après leur nombre d'accélérateurs linéaires (168 centres)



### Évolution du nombre d'accélérateurs linéaires entre 2009 et 2013 (168 centres)



### 4.1.2 Ancienneté du parc d'accélérateurs linéaires

#### Données 2013 (171 centres)

L'âge moyen des accélérateurs linéaires en 2013 est de 6,4 ans. Près de 80 % des accélérateurs ont moins de 10 ans d'ancienneté.

Tableau 3 – Répartition des accélérateurs par ancienneté en 2013

	Nombre d'accélérateurs	%
0-4 ans	170	37,7 %
5-9 ans	186	41,2 %
10-14 ans	72	16,0 %
15-19 ans	21	4,7 %
20 ans et +	2	0,4 %
Total	451	

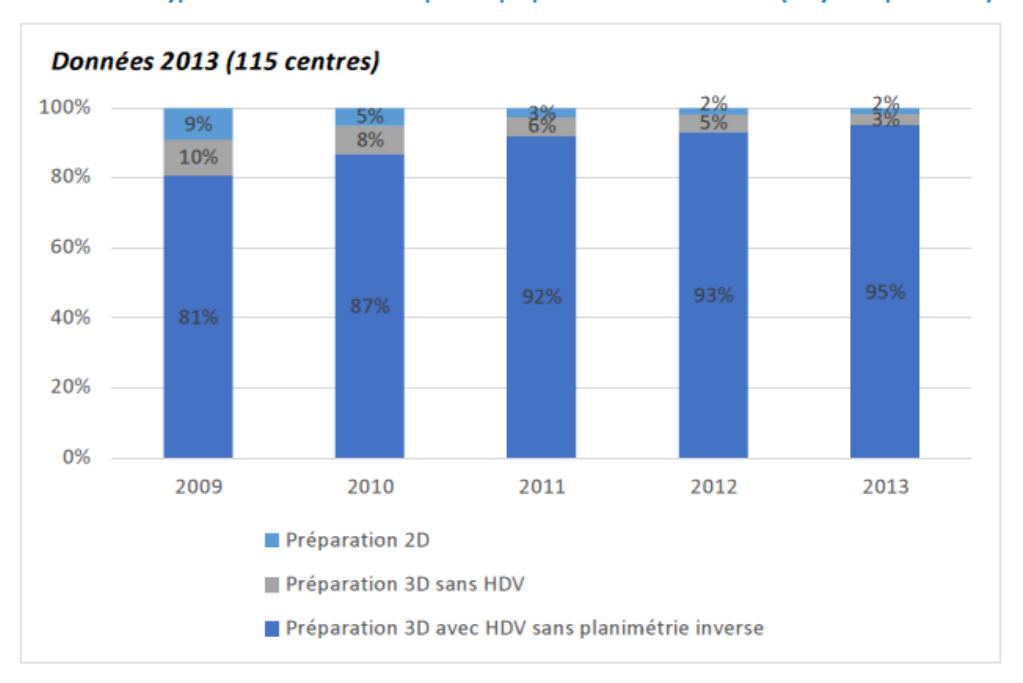


### - Nombre total de patients, de traitements et de séances en 2013

	Patients	Patients traités		arations	Séan	Séances	
	Effectifs	%	Effectifs	%	Effectifs	%	
Privé	85 766	48 %	91 194	47 %	1 886 778	49 %	
Public	94 491	52 %	102 710	53 %	2 058 360	51 %	
TOTAL	180 257		193 904		3 945 138		

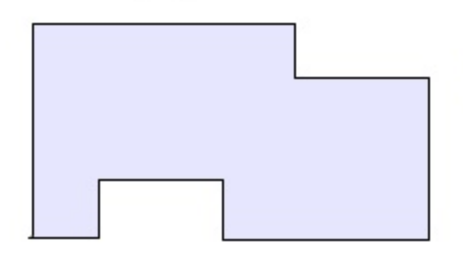
Le nombre moyen de patients traités par centre augmente de 1,8 % en moyenne sur les cinq dernières années d'enquêtes, le nombre moyen de traitements augmente de 1,5 % et le nombre moyen de séances de 1,0 %<sup>7</sup>.

Figure 28 – Évolution du type de dosimétrie utilisée pour la préparation des traitements (moyenne par centre)

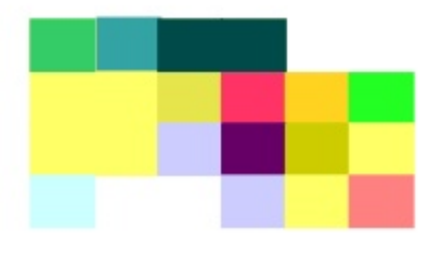




# **Types of Conformal Radiation**



Geometrical Field shaping



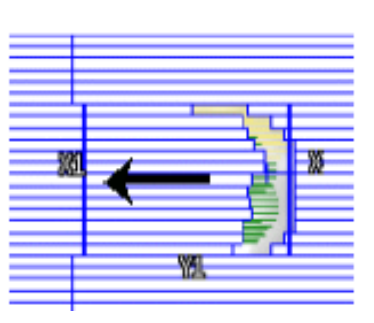
Geometrical Field shaping with Intesity Modulation

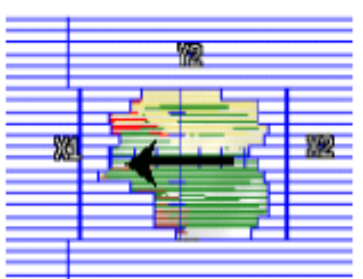
- Two broad subtypes :
  - Techniques aiming to employ geometric field shaping alone(3D-CRT)
  - Techniques to modulate the intensity of fluence across the geometricallyshaped field (IMRT)

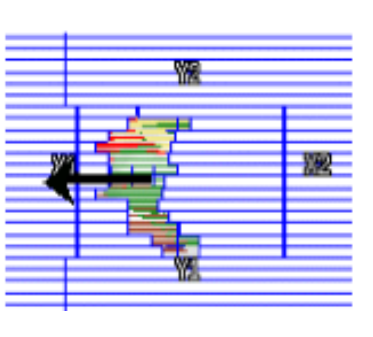


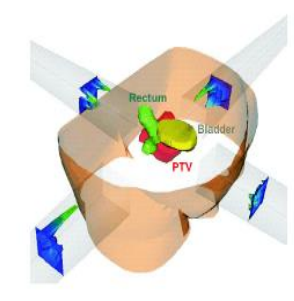
### Radiothérapie Conformationnelle avec Modulation d'Intensité RCMI (IMRT)









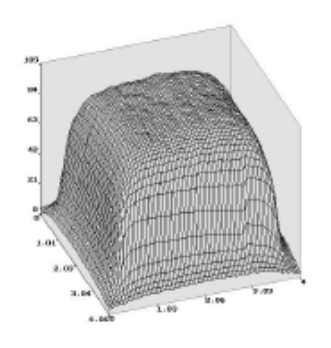


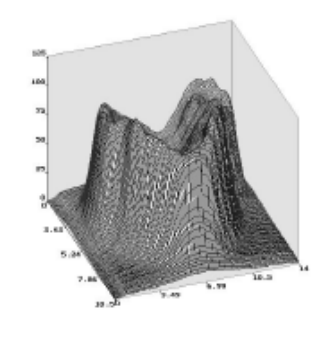
Collimateur multilames

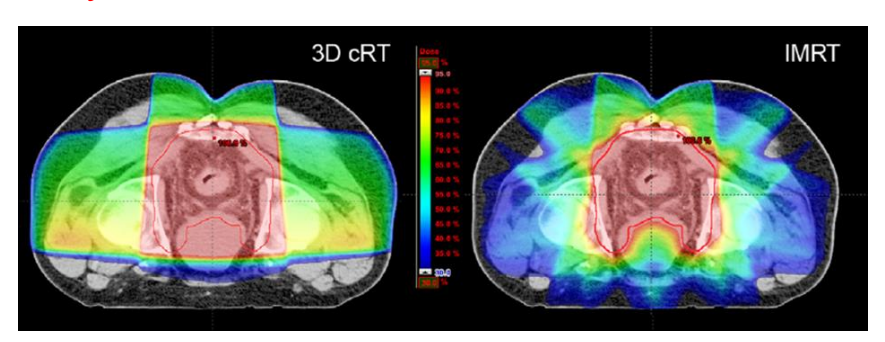
Mouvement des lames pendant l'irradiation

5 à 7 faisceaux statiques

Débit maximal : 6 Gy/min







Faisceau non modulé

Faisceau modulé

- √ Haute conformité de la distribution de dose au volume cible (volumes concaves et complexes)
- √ Gradients de dose élevés
- √ Meilleure protection des organes à risque
- √ Possibilité d'escalade de dose, *Boost* intégré

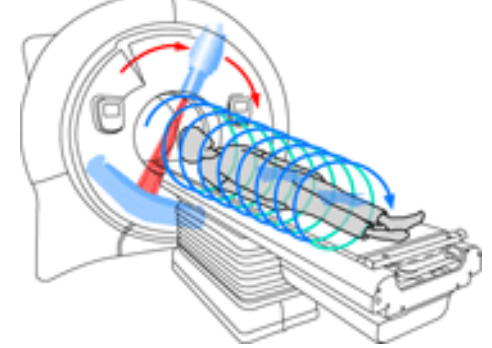


### RCMI rotationnelle

### Tomothérapie

### Arc Thérapie Volumique





RCMI guidé par imagerie combinant un système d'imagerie par scanner à un appareil de radiothérapie

### Appareil dédié:

Débit de dose : 8-9 Gy/min Faisceau en éventail

Faisceau modulé en intensité Rotation continue du bras

Translation continue de la table

- √ Meilleure conformité de la distribution de dose
- √ L'imagerie permet de contrôler les doses délivrées avant chaque séance.
- √ Possibilité de traiter plusieurs volumes cibles ou des volumes étendus
- √ Le traitement peut être réadapté sur mesure conformément aux changements anatomiques



Le débit de dose



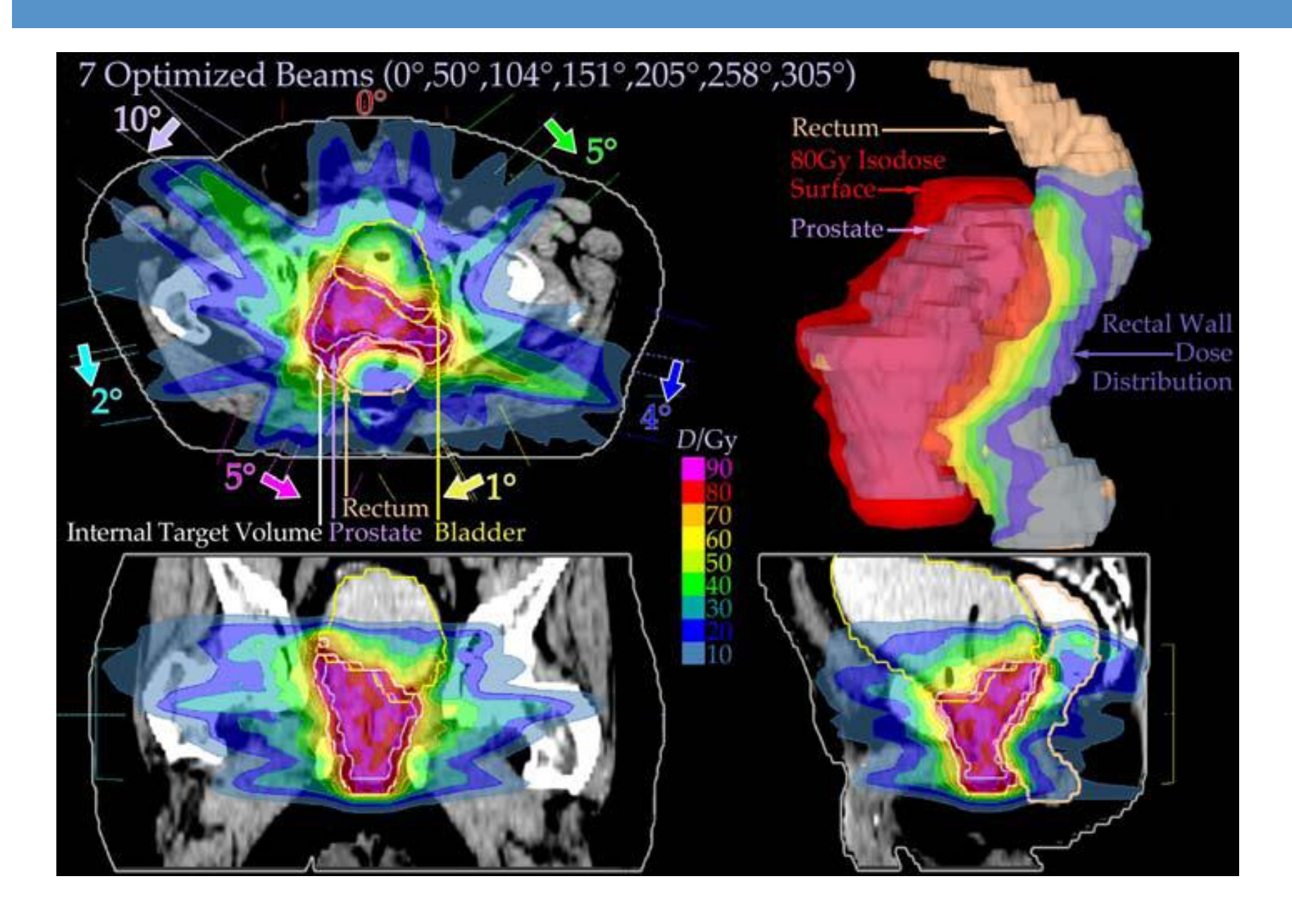
Un appareil généraliste par un ou plusieurs arcs d'irradiation au cours desquels varient :

L'angle et la vitesse de rotation du bras
La vitesse de déplacement des lames
La rotation du collimateur

- √ Meilleure conformité de la distribution de dose
- √ Gain de temps
  Débits très élevés (jusqu'à 24 Gy/min) car
  retrait du filtre égalisateur (faisceaux FFF:
  flattening filter free)

  √ Gain de temps
  Débits très élevés (jusqu'à 24 Gy/min) car
  retrait du filtre égalisateur (faisceaux FFF:
  flattening filter free)









### Radiotherapy and Oncology



journal homepage: www.thegreenjournal.com

Rectal cancer

Irradiation with protons for the individualized treatment of patients with locally advanced rectal cancer: A planning study with clinical implications

Hendrik Andreas Wolff <sup>a,\*,1</sup>, Daniela Melanie Wagner <sup>a</sup>, Lena-Christin Conradi <sup>b,1</sup>, Steffen Hennies <sup>a,1</sup>, Michael Ghadimi <sup>b,1</sup>, Clemens Friedrich Hess <sup>a,1</sup>, Hans Christiansen <sup>a,1</sup>

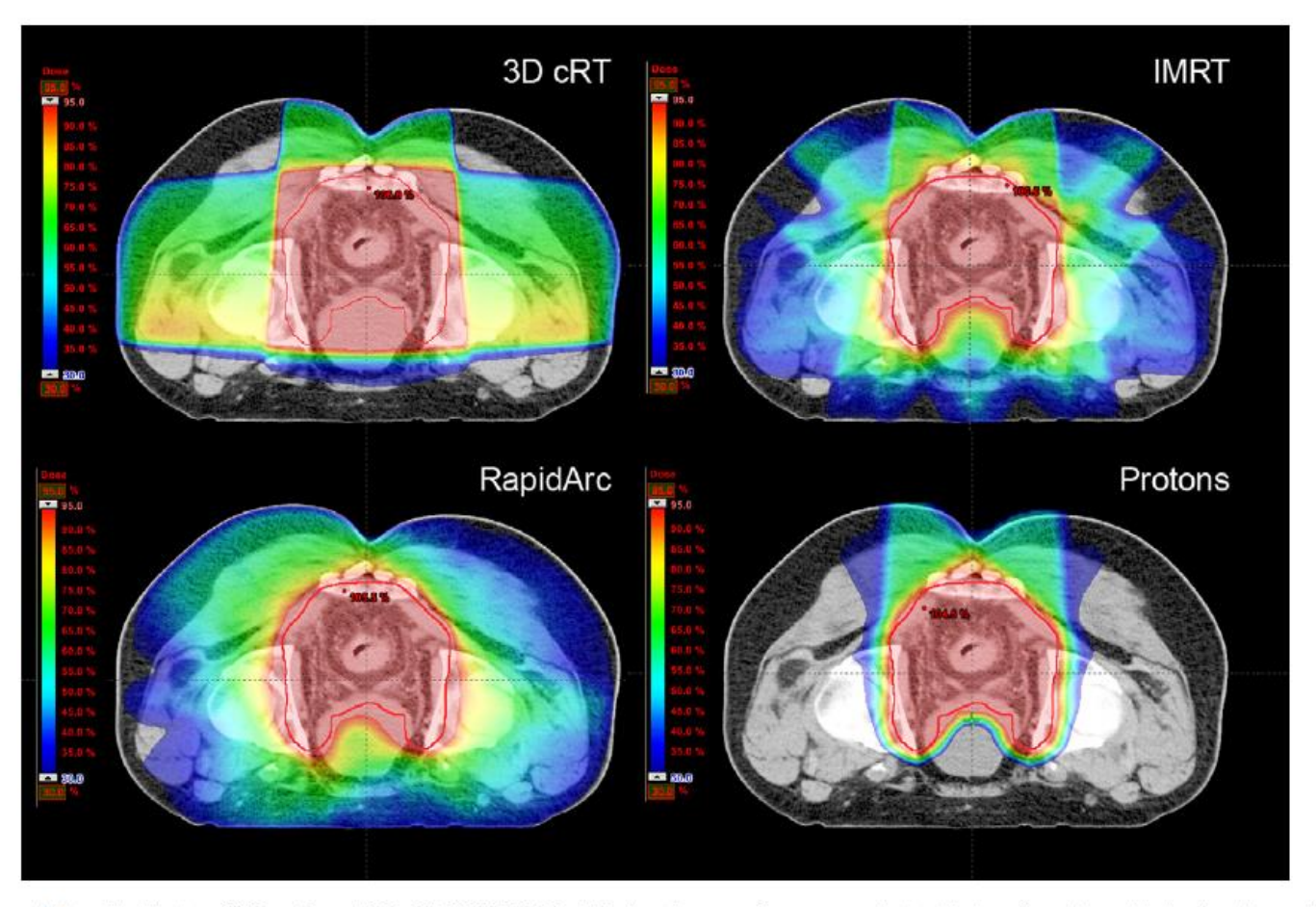
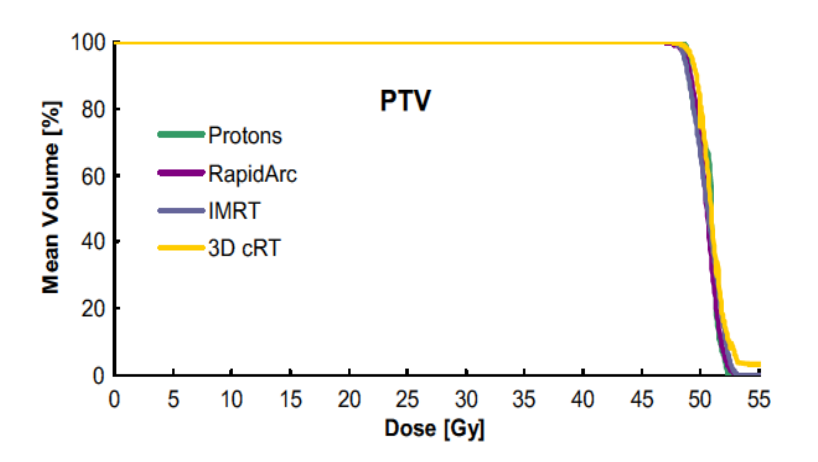
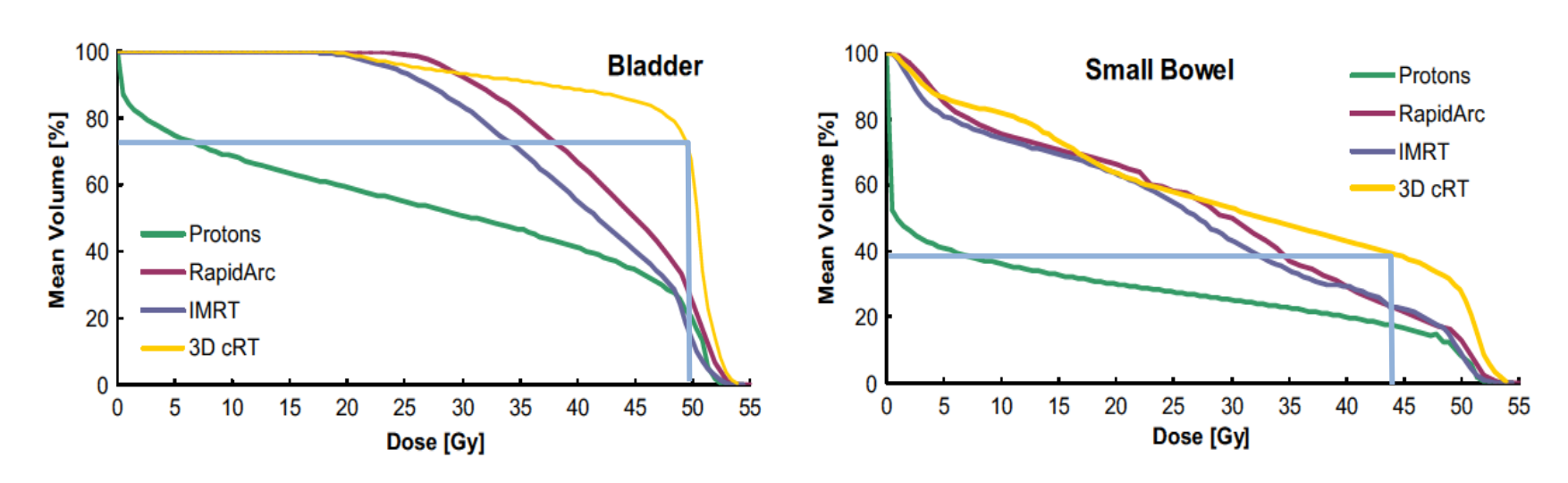


Fig. 1. Color wash dose distribution of 3D conformal (3D cRT), IMRT, RA (RapidArc), and protons for preoperative irradiation of a patient with locally advanced rectal cancer. Color wash range was set to 95–30% of prescribed dose.







En France en 2011,  $80\,\%$  des patients étaient traités par 3D-CRT Pas de proton thérapie en France pour la prostate ou rectum



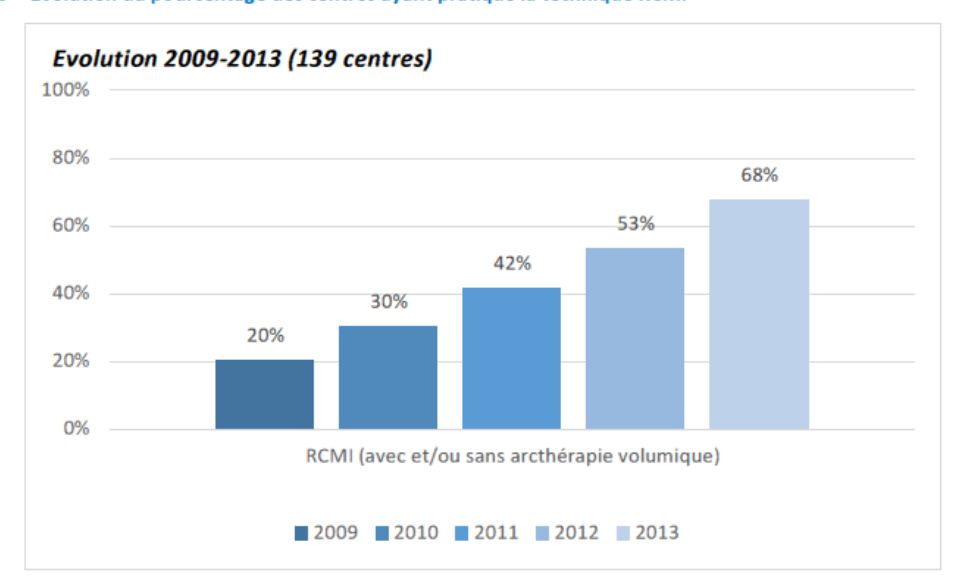


Figure 29 – Évolution du pourcentage des centres ayant pratiqué la technique RCMI

Tableau 30 – Parmi les centres utilisant la RCMI, fréquence d'utilisation de la technique par rapport à l'ensemble des patients dans chaque localisation concernée

	Prost	tate	VADS		Canal anal		Col utérin	
% de patients traités par RCMI	Nb de centres	%						
0-25 %	73	47 %	73	47 %	82	54 %	93	61 %
26-50 %	8	5 %	16	10 %	12	8 %	9	6 %
51-75 %	16	10 %	17	11 %	10	7 %	13	8 %
76-100 %	57	37 %	49	3 %	47	31 %	38	25 %
Nb de centres ayant renseigné l'item	154		155		151		152	



## RT stéréotaxique

SABR: Stereotactic Ablative Radiation therapy

SBRT: Stereotactic Body Radiation therapy

### Historiquement: radiochirurgie

- 1 seule fraction

- VT<3cm, limites nettes
- Intracrâniennes (possibilités de contention millimétrique grâce au cadre invasif)



### Radiothérapie stéréotaxique

- Indications extra-crâniennes
- Fractionnement obligatoire dû aux difficultés de contention

### Accélérateurs linéaires implémentés

- Collimateur primaire (mâchoires)
- Collimateur secondaire multilames
- Collimateur tertiaire micromultilames



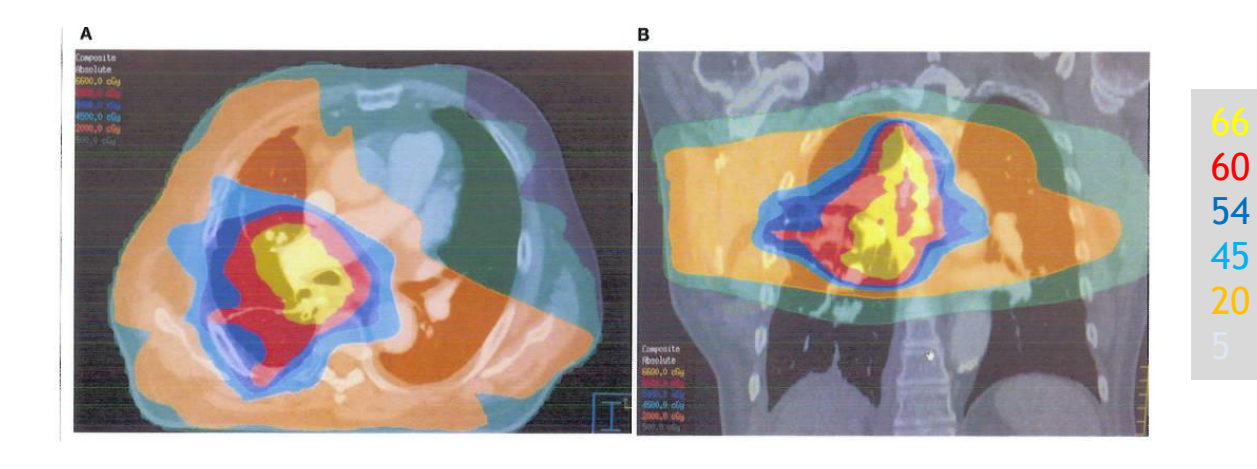






# RT stéréotaxique - isodoses

6 fields IMRT 66 Gy



**SBRT** 48 Gy/4 fractions



Gy

54



Tableau 37 – Techniques pratiquées dans les centres en 2013

	Centres ayan technique da		Nombre total de patients
	Nombre	%	
Stéréotaxie intracrânienne	35	22 %	4 194
Stéréotaxie extracrânienne	38	23 %	2 888
Radiothérapie asservie à la respiration	38	23 %	980
Protonthérapie	2	1 %	745

Tableau 38 – Évolution du nombre de centres ayant pratiqué les techniques

	2009	2009		2010 2011		2012		2013		
	Nb Centres	%	Nb Centres	%	Nb Centres	%	Nb Centres	%	Nb Centres	%
Stéréotaxie intracrânienne	20	15 %	22	16 %	23	17 %	25	18 %	31	23 %
Stéréotaxie extracrânienne	18	13 %	20	15 %	23	17 %	29	21 %	35	26 %

Tableau 40 – Localisations tumorales traitées par stéréotaxie extra-crânienne en 2013

Localisations tumorales	Nombre total de patients		
	Nombre	%	
Rachis	21	13 %	570
Bronchopulmonaire	36	22 %	1 336
Hépatique	23	14 %	391
Autres	23	15 %	1 771



Pourquoi reconsidérer aujourd'hui les fortes doses par fraction?

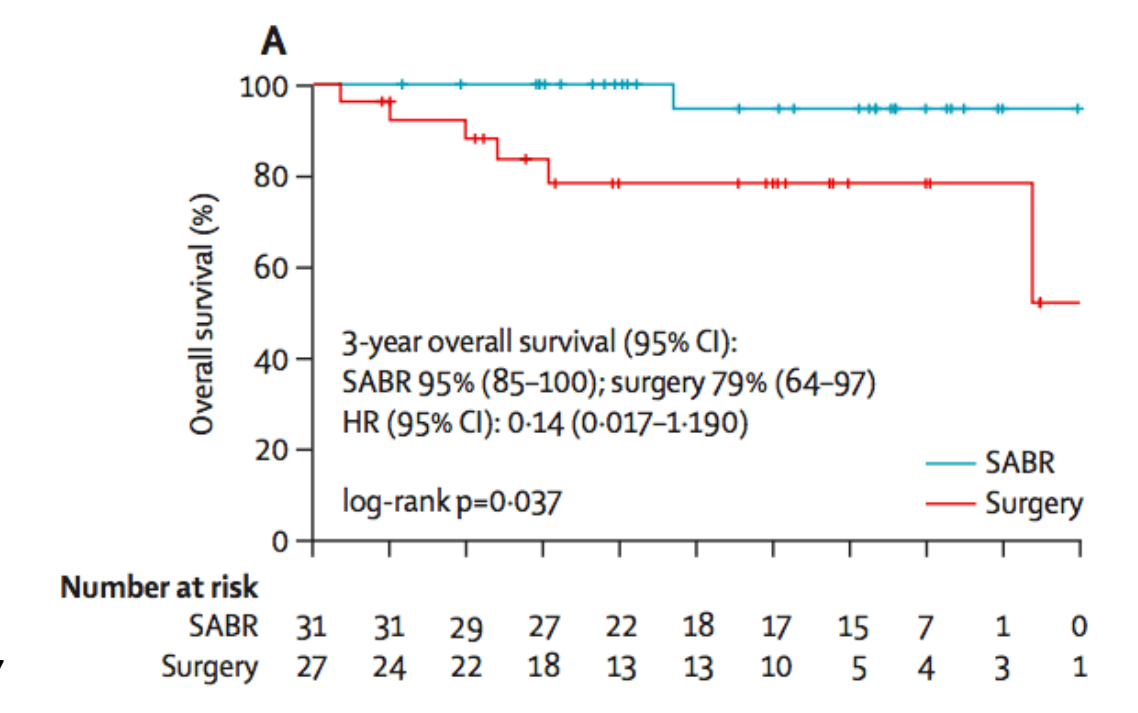
- √ Parce que c'est possible grâce à la physique
- √ Pour le confort de patients
- √ Pour le coût global du traitement
- √ Parce que il y a des preuves que c'est très efficace
- $\sqrt{\text{Parce que des types de tumeurs y serait plus sensible}}$  (sein/prostate  $\alpha/\beta$  ratio faible)

M Joiner ASTRO 2013



## Stéréotaxie: Indications de plus en plus larges

- Cancers du Poumon de Stades Précoces
  - Patients Inopérables
  - Patients Opérables
- Cancers Oligo-métastatiques



Chang, Lancet Oncol 2015; 16: 630-37

### Les Techniques de radiothérapie sont en évolution constante

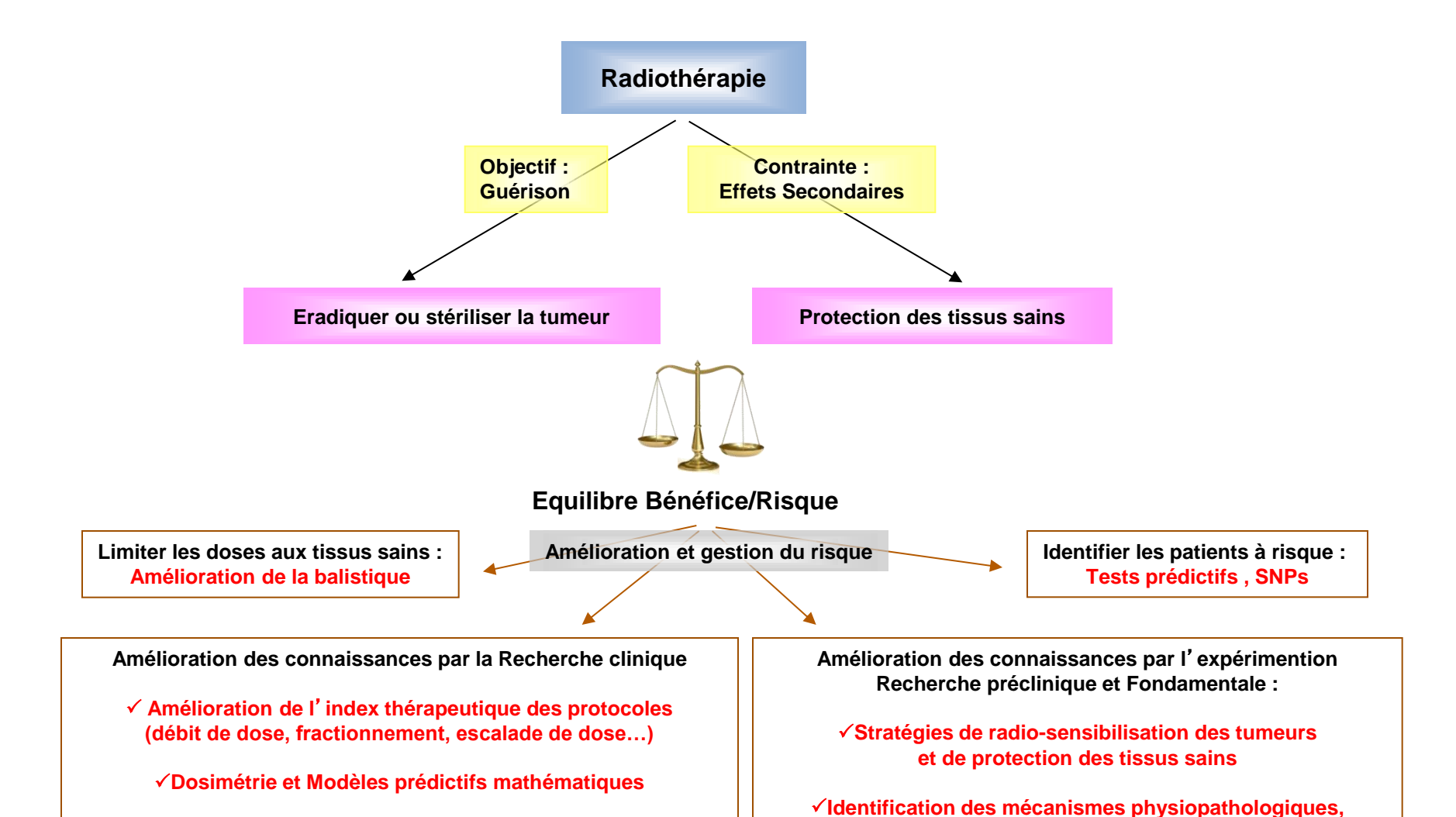
Radiothérapie Conformationnelle 3D (3D-CRT) , technique de référence (≈ 75% des traitements)

Collimateurs multi-lames Imagerie en 3D Dosimétrie 3D : HDV ( Histogramme Dose/Volume)

### Evolution des techniques

- RT avec modulation d'intensité RCMI (IMRT)
- RCMI rotationnelle (tomothérapie VMAT)
- RT guidée par l'image (IGRT)
- Gestion du mouvement (gating tracking)
- RT guidée par la biologie (BGRT), Imagerie fonctionnelle
- Radiothérapie en conditions stéréotaxiques

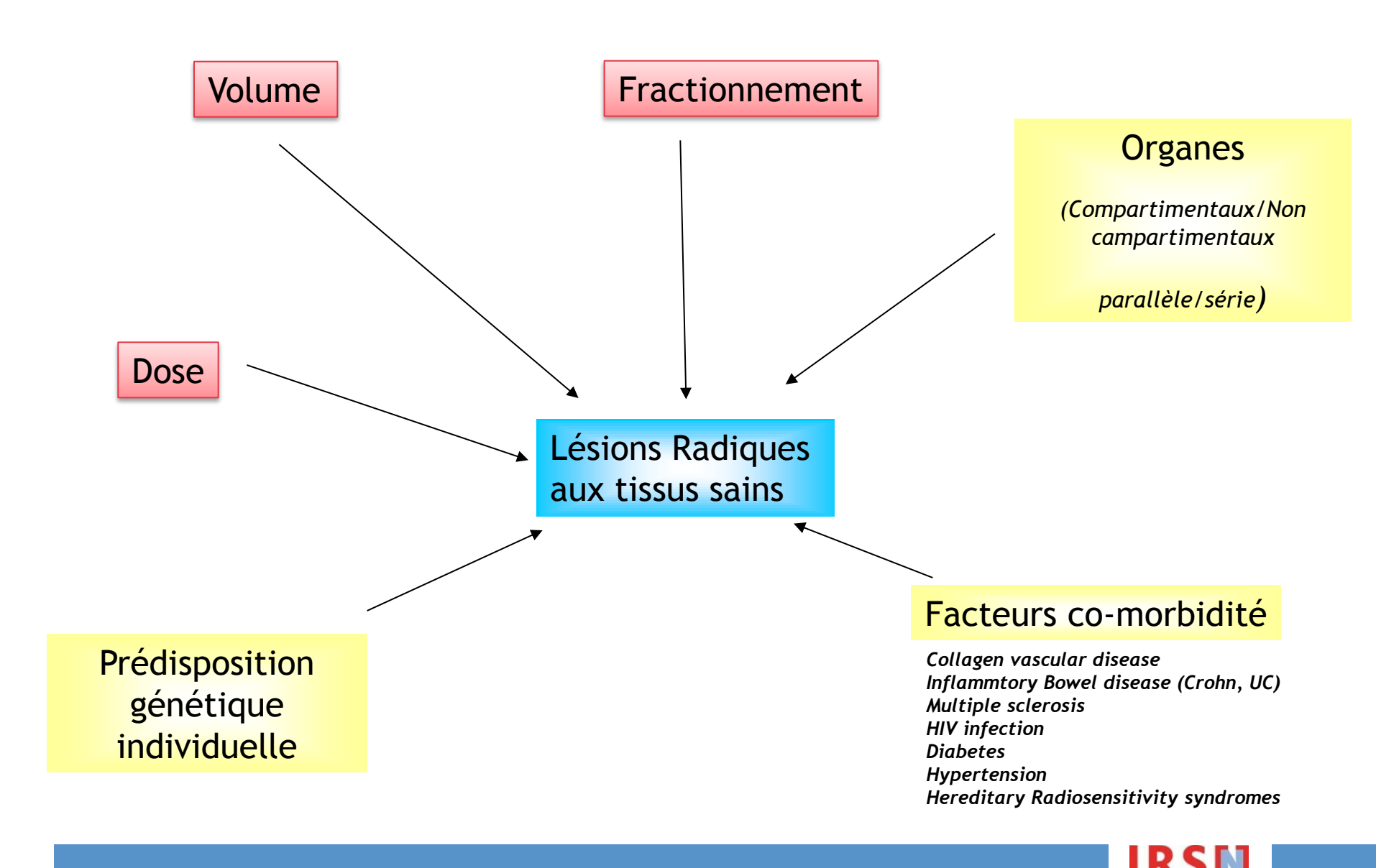


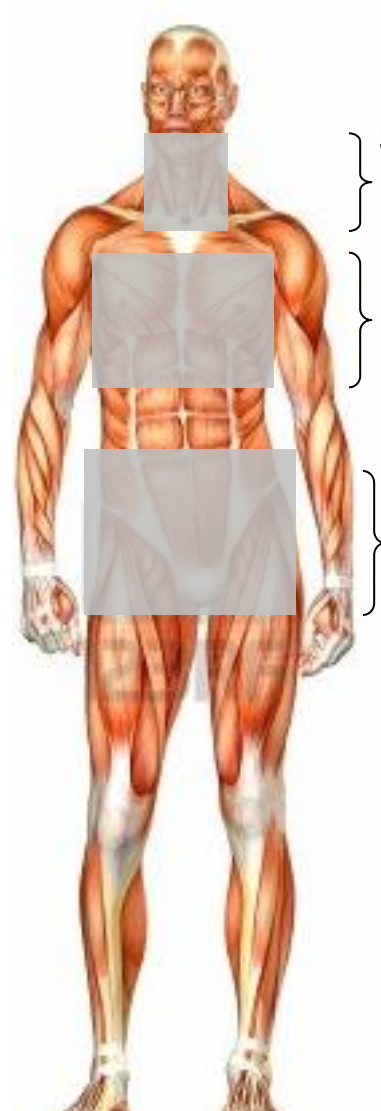


✓ Amélioration des méthodes de suivi des complications



des acteurs cellulaires et moléculaires et de leurs rôles





### Sphère ORL (ex Larynx)

OAR : parotides, thyroide, Moelle épinière cervicale ...

### Poumon

Sein

OAR : coeur, foie, OAR : poumon, coeur, foie Oesophage ...

### Prostate

Rectum

OAR : rectum, véssie OAR : Instestin Grêle, véssie Canal anal... Canal anal...

Le cœur est un OAR des RT des cancers :

sein

lymphome

poumon

œsophage

Estomac

thymome

Le rectum est un OAR des RT des cancers :

Prostate Col utérin

endomètre

Vessie

...

# Organes à Risque et Dose de Tolérance

### ▼ Contraintes de dose

Tableau III – Tableau regroupant les doses de tolérance (HDV, dose maximale, dose moyenne) ayant fait l'objet d'un consensus fort ou relatif en 2007.

Ces niveaux de dose peuvent éventuellement être dépassés sous réserve d'une justification liée au contrôle local et à la survie du patient, après information et accord de celui-ci. Ces dépassements sont notamment possibles lorsqu'ils concernent des organes à risque dont les lésions radiques n'ont pas de conséquences vitales.

Organe sain (organe à risque)	Dose de tolérance
Parotide controlatérale	V26 < 50%
	Dose movenne < 30 Gy
Tronc cérébral	Dose maximale de 50 Gy
Articulation temporo-mandibulaire,	D : 1166
notamment controlatérale	Dose maximale de 65 Gy
Moelle épinière	Dose maximale de 45 Gy
Larynx	Dose maximale de 20 Gy
Chiasma	Dose maximale de 54 Gy
Conduit auditif, oreille moyenne et interne	Dose maximale de 50-55 Gy
Œil	Dose moyenne < 35 Gy
Poumon sain	V20 ≤ 35 %
	V30 ≤ 20 %
Plexus brachial	Dose maximale de 55 Gy
Œsophage	Dose maximale de 40 Gy sur une hauteur de 15 cm
Foie	V30 ≤ 50%
	Dose <26 Gy dans le foie total
Cœur	Dose maximale de 35 Gy dans l'ensemble du cœur
Rein	Dose maximale de 20 Gy dans un volume cumulé
	équivalent à un rein entier fonctionnellement normal
Intestin grêle	Dose maximale de 50 Gy
	Dose maximale de 40 Gy sur un grand volume
Estomac, duodénum	Dose maximale de 45 Gy
	Dose maximale de 54 Gy dans un petit volume
Vessie	V60 ≤ 50%
	V70 ≤ 25%.
Cols, têtes fémorales, grand trochanter	V 50 ≤ 10 %.
Rectum (paroi rectale)	V60 < 50 %
	V70 < 25 %
	V74 ≤ 5 %
	V/4 2 J 70

Vx ≤Y %, Dose x Gy ne doit pas être délivrée dans plus d'Y % du Volume de l'OAR

EN FRACTIONNEMENT CONVENTIONNEL

Source: Guide des procédures de radiothérapie externe 2007, Cancer/Radiothérapie 12 (2008) 143-413



### Poumon Sain

V20<25% V30<30%

### Rectum (Paroi Rectale)

V60<50% V70<25% V74<5%

Vx ≤Y %, Dose x Gy ne doit pas être délivrée dans plus d'Y % du Volume de l'OAR

Recorad: chapitre 6

Délinéation des organes à risque et contraintes dosimétriques



Delineation of organs at risk and dose constraints

G. Noël<sup>a,\*</sup>, D. Antoni<sup>a</sup>, I. Barillot<sup>b</sup>, B. Chauvet<sup>c</sup>

- a Département universitaire de radiothérapie, centre de lutte contre le cancer Paul-Strauss, 3, rue de la Porte-de-l'Hôpital, 67065 Strasbourg, France <sup>b</sup> Centre universitaire de cancérologie Henry-S.-Kaplan, CHU, 37044 Tours cedex 9, France
- <sup>c</sup> Département de radiothérapie, institut Sainte-Catherine, 84918 Avignon cedex 9, France

#### INFO ARTICLE

Mots clés : Organes à risque Délinéation Dose Radiothérapie Stéréntaxie

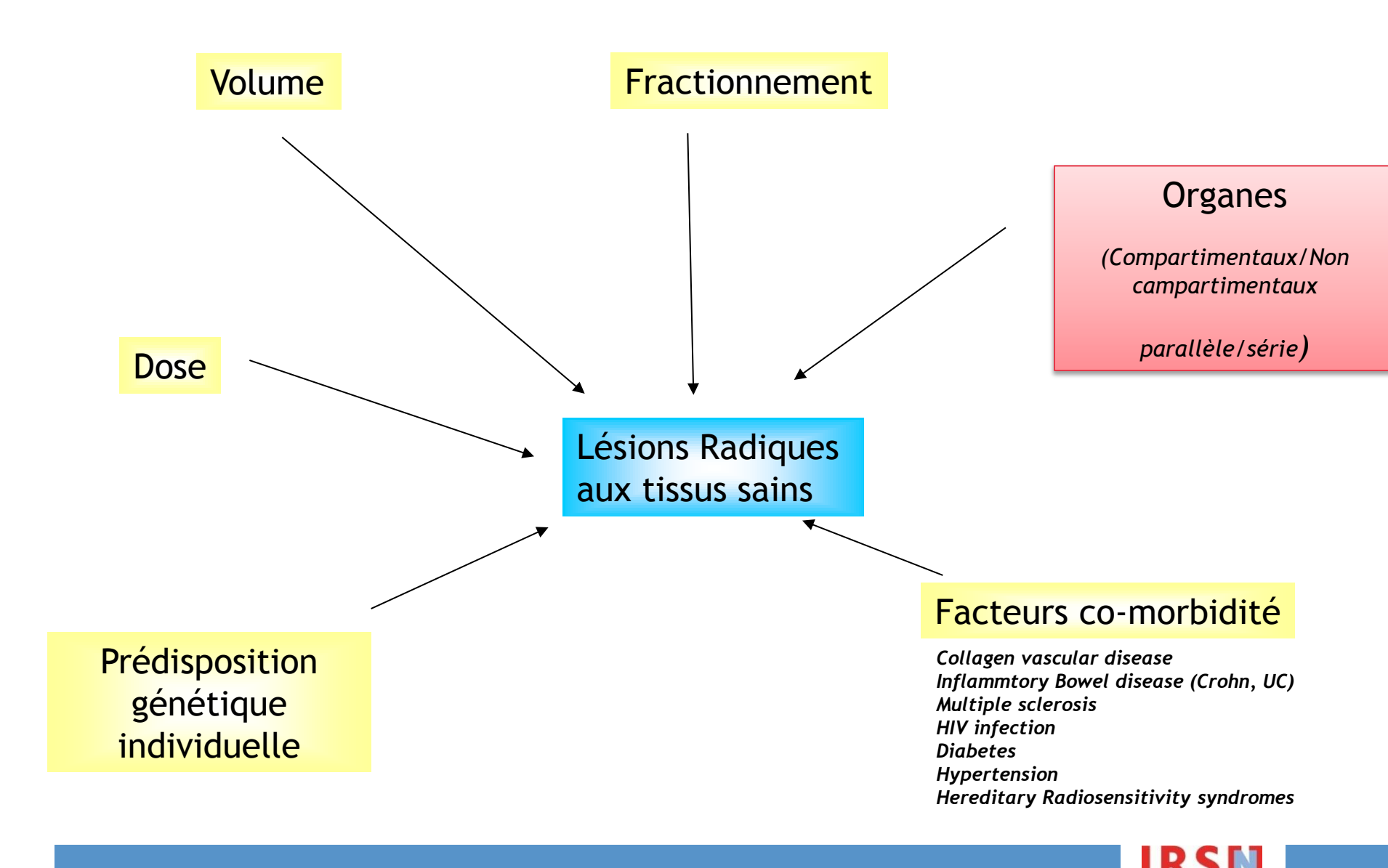
#### RÉSUMÉ

À partir d'une revue de la littérature, cet article définit les limites de délinéation pour les organes critiques, puis les contraintes de dose sur ces derniers lorsque la radiothérapie est délivrée selon un étalement et fractionnement classiques ou en hypofractionnement, tel qu'utilisé dans la radiothérapie en conditions stéréotaxiques.

© 2016 Publié par Elsevier Masson SAS au nom de Société française de radiothérapie oncologique

Organe à risque	Risque potentiel de complication	Contraintes classique fonction du contexte)	Autres contraintes publiées complémentaires pouvant être		
		1 séance	3 fractions	5 fractions	utilisées
Poumon	Pneumopathie	D <sub>1000 mL</sub> < 7,4 Gy D <sub>1500 mL</sub> < 7 Gy	D <sub>1000 mL</sub> < 12,4 Gy D <sub>1500 mL</sub> < 11,6 Gy	D <sub>1000 mL</sub> < 13,5 Gy D <sub>1500 mL</sub> < 12,5 Gy	$V_{20\text{Gy}} \le 10\%[14]$
Rectum	Rectite/fistule	D <sub>max</sub> < 18,4 Gy D <sub>20 mL</sub> < 14,3 Gy	D <sub>max</sub> < 28,2 Gy D <sub>20 mL</sub> < 24 Gy	D <sub>max</sub> < 38 Gy D <sub>20 mL</sub> < 25 Gy	1 séance : D <sub>max</sub> < 20 Gy [153] 3 fractions : D <sub>max</sub> < 30 Gy [153] 5 fractions : D <sub>max</sub> < 38 Gy [153]





# Tissus dits « Compartimentaux » Hierarchical tissues

✓ Compartiment souche

Mitoses +++, Cellules indifférenciées très « radiosensibles »

✓ Compartiment de maturation Moins de mitoses, différenciation en cours.

- « Radio-sensibilité intermédiaire »
- ✓ Compartiment fonctionnel

  Pas de mitose. Cellules différenciées.

« Radio-résistantes »

Si les cellules souches sont détruites : le délai d'apparition du déficit fonctionnel de l'organe dépend de la durée de vie des cellules différenciées

MOELLE OSSEUSE
EPITHELIUMS, MUQUEUSES (Intestin Peau)
GONADES

Tissus dits « non Compartimentaux » flexible tissues

- ✓ Pas de cellules souches individualisées
- ✓ Chaque cellule peut jouer un rôle fonctionnel
- ✓ Diminution progressive des cellules fonctionnelles
- ✓ Tolérance jusqu'à un seuil

FOIE
REIN
TISSUS NERVEUX
ENDOTHELIUM VASCULAIRE

J.-M. Cosset / Cancer/Radiothérapie 14 (2010) 228-231



### Rôle du volume irradié

### Structure ➤ En série En Parallèle 4

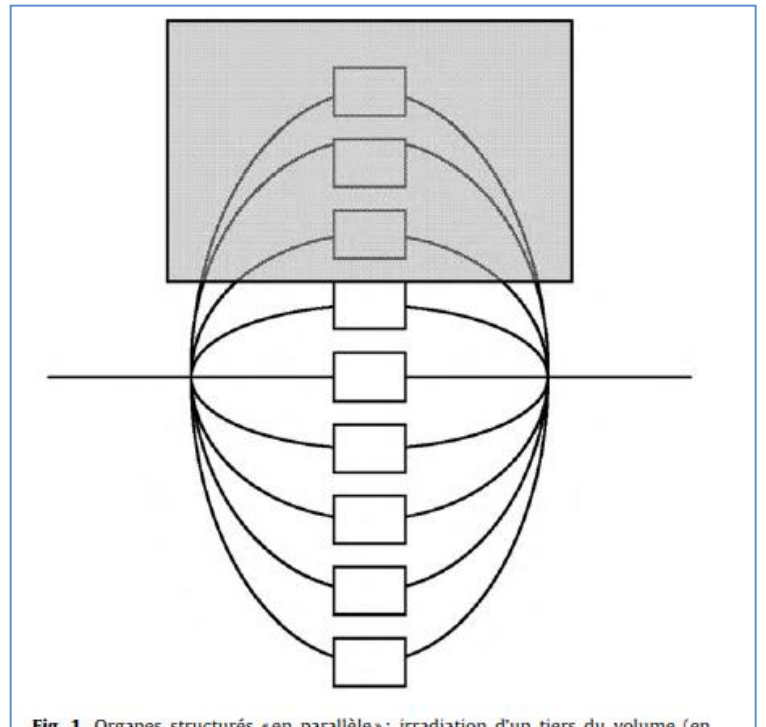


Fig. 1. Organes structurés «en parallèle»: irradiation d'un tiers du volume (en

grisé); déficit fonctionnel d'un tiers.

POUMON, FOIE, REIN

**Notion** de sous-unité fonctionnelle

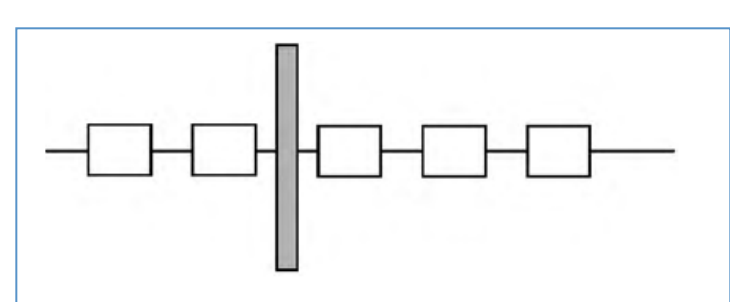


Fig. 2. Organe en série: une irradiation transverse, même d'un petit volume (en grisé), sera responsable d'un arrêt fonctionnel total.

**MOELLE EPINIERE INTESTIN** 

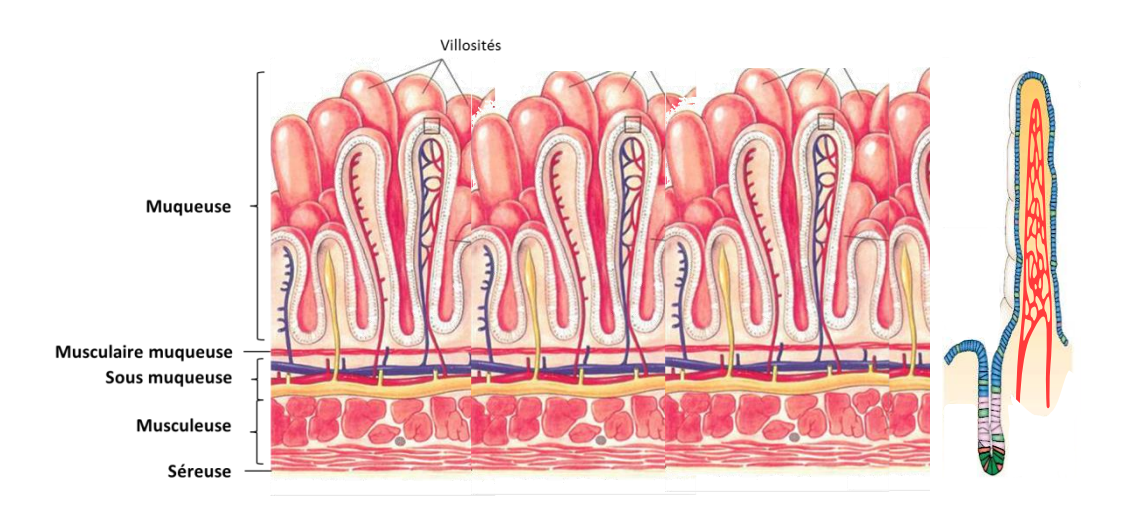
J.-M. Cosset / Cancer/Radiothérapie 14 (2010) 228-231



### Liens effets précoces -effets tardifs

### Organes complexes

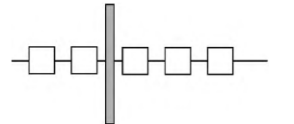
### Exemple de l'instestin



Muscle, endothélium

Epithélium

Tube digestif



Structure en série

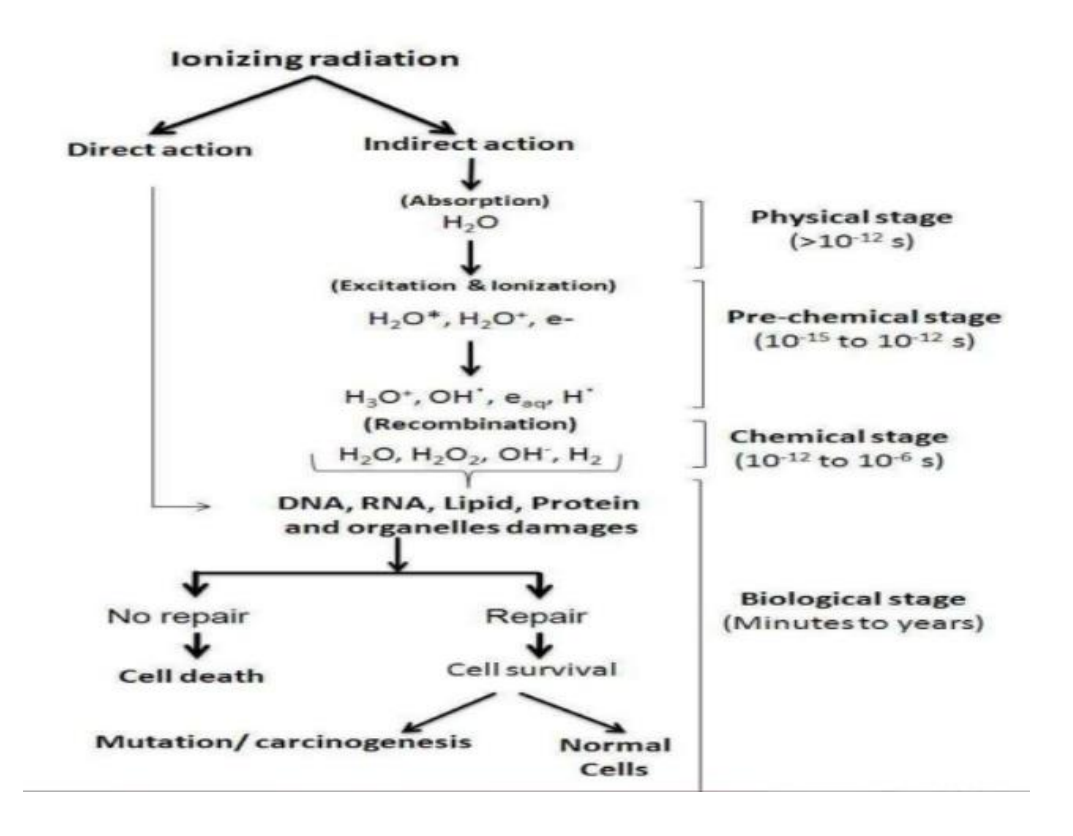
L'irradiation d'un volume très limité pourra être responsable de complications majeures

Plusieurs tissus « non compartimentaux »
à prolifération lente:
Potentiellement responsable
des effets tardifs

Tissus « compartimentaux » : Responsable des effets précoces

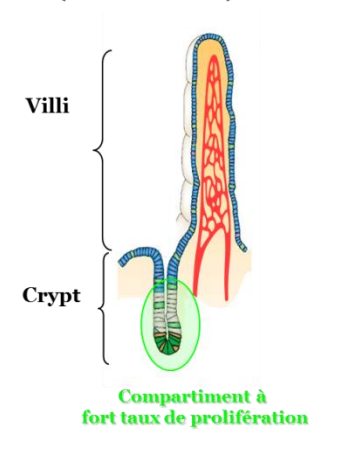


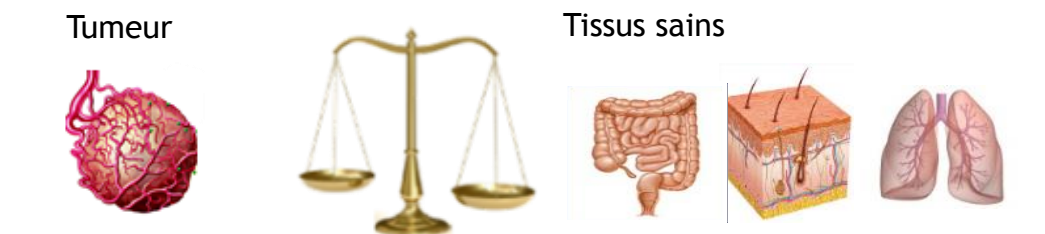
### Concepts historiques de la radiobiologie



Concept historique (1970's à 2000) de la cellule cible

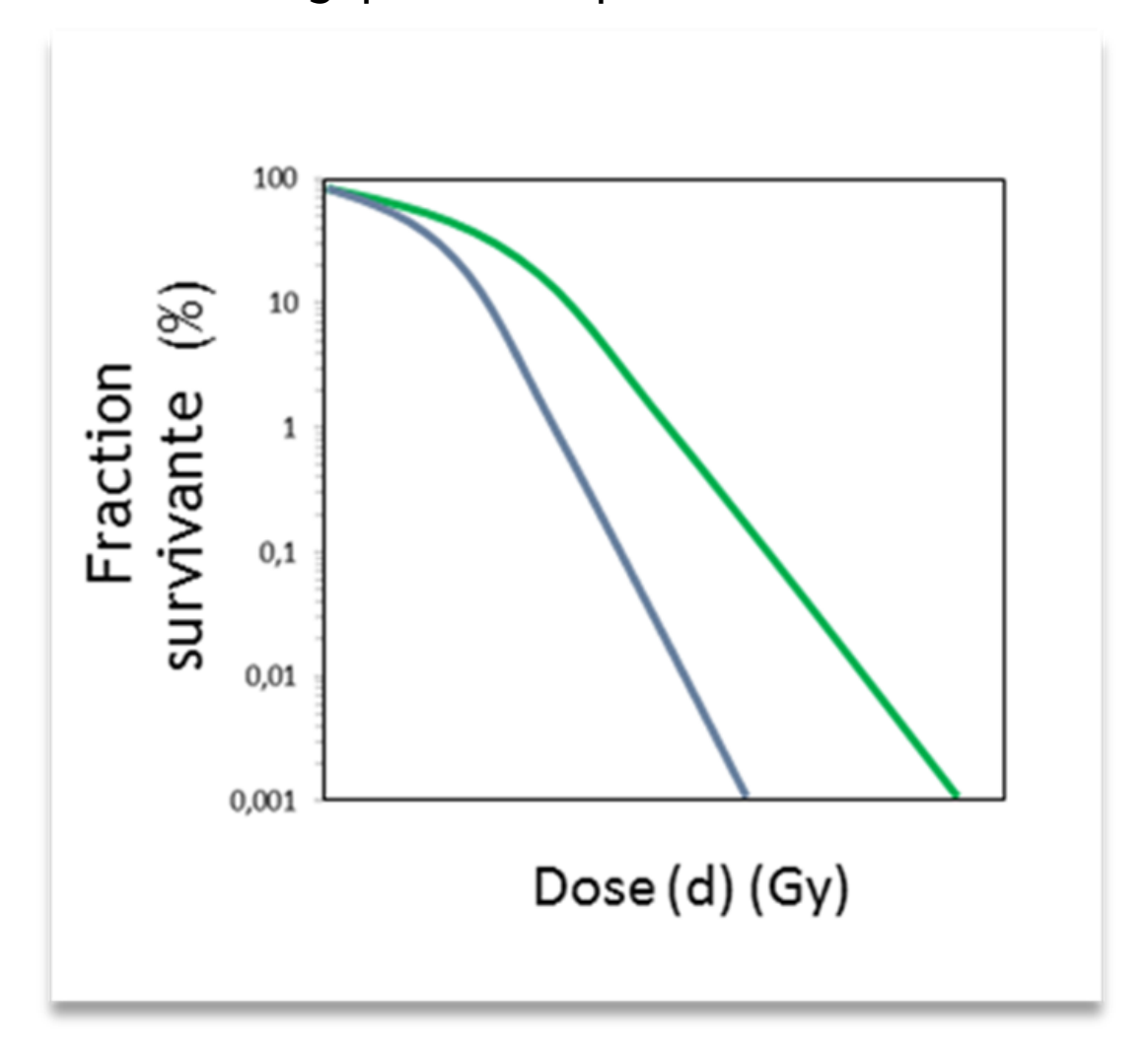
La déplétion d'un compartiment cible par mort radio-induite cause des lésions sévères (déterministes)





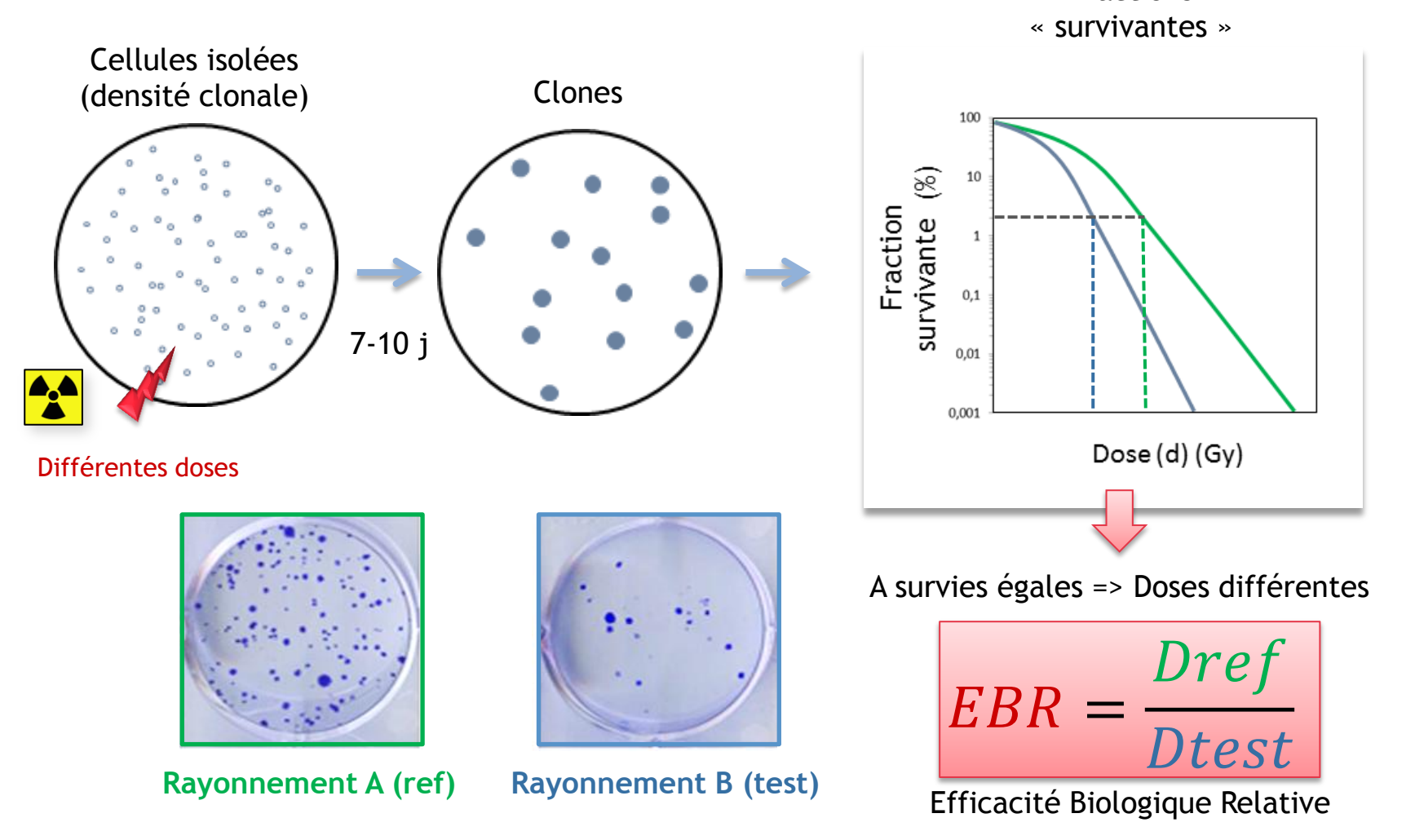


### La mort « radiobiologique» : incapacité définitive à former des clones





## Test de référence = Le test de survie clonogénique



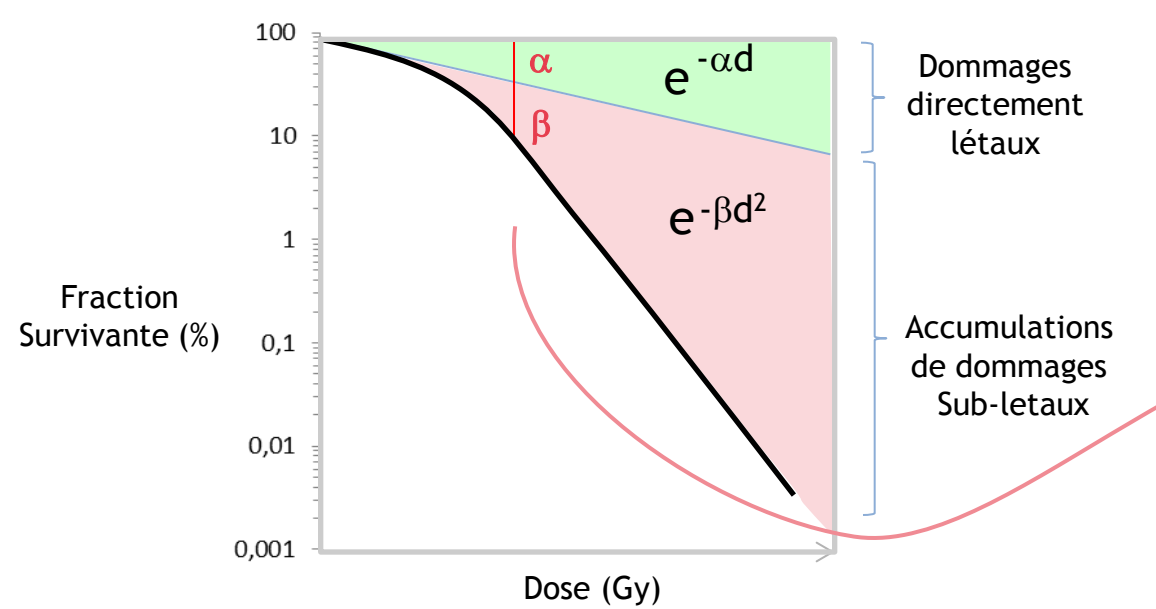
« Rapport de la dose d'un rayonnement de référence à la dose physique du rayonnement étudié produisant un même effet biologique »

L'EBR



Fractions

### Modélisation de courbe de survie cellulaire



SF2Gy, D37%, BED « Biologically Equivalent Dose »...

Le modèle linéaire quadratique

$$S=e^{-(\alpha d+\beta d^2)}$$

Rapport  $\alpha/\beta$ 

« dose pour laquelle la mort cellulaire liée a la composante linéaire est égale à la mort cellulaire liée à la composante quadratique »

### Effet fractionnement:

- Majeur si α/β bas
- Mineur si α/β élevé

Tumeurs prostate et du sein ont de rapports  $\alpha/\beta$  « bas » et seraient donc sensible à des fractions de doses plus importantes Hypo-fractionnement



Les fortes doses par fraction favorise les lésions tardives aux tissus sains



### Exemple de la prostate

### Hypo-fractionnement modéré

Cancer/Radiothérapie 17 (2013) 355-362

Hypofractionnement en radiothérapie: l'éternel retour

Hypofractionation and radiotherapy: "L'éternel retour"

J.-M. Cosset<sup>a,\*,b</sup>, F. Mornex<sup>c,d</sup>, F. Eschwège<sup>e</sup>

Essais cliniques de phase 3 d'hypofractionnement modéré (3 à 3,4 Gy /fraction)

Allemagne: HYPRO; 820 patients: 78 Gy en 39 fractions, 2 Gy/fraction

64,6 Gy en 19 fractions, 3,4Gy/fraction

Angleterre: CHHiP; 3200 patients 74 Gy en 37, 2 Gy/fraction

60 Gy en 20, 3 Gy/fraction

57 Gy en 19, 3 Gy/fraction

Canada: ISRCTN; 1204 patients 78 Gy en 39 2 Gy/fractions

60 Gy en 20 3 Gy/fraction

www.thelancet.com/oncology Vol 16 March 2015

« <u>acute gastrointestinal toxicity</u> was <u>increased with hypofractionation (42·0%</u> [95% CI  $37\cdot2-46\cdot9$ ] of patients in the hypofractionation group had grade =2 adverse events vs  $31\cdot2\%$  [26·6-35·8] in the standard fractionation group, <u>difference 10·8%</u>, 90% CI 5·25-16·43; p=0·0015) <u>although were similar 3 months after treatment</u>"



# Hypofractionated Radiotherapy for Prostate Cancer: Further Evidence to Tip the Scales

James B. Yu, Yale School of Medicine, New Haven, CT

Table 1	I. Accumulating	Evidence From Randomize	ed Trials on Hyp	oofractionated Therapy for Prosta	te Cancer
Trial, Predominant Risk Group	Conventional Dose, Gy	Hypofractionated Dose	Median Follow-up	Cancer Control Conclusions	Toxicity Comparison
PROFIT <sup>3</sup> (N = 1,206), intermediate risk	78	60 Gy given in 3-Gy fractions	6 years	Moderate hypofractionation noninferior to standard	Overall, no significant differences except that GI toxicity more acute for moderate hypofractionation but more later for standard fractionation
Regina Elena National Cancer Institute <sup>4</sup> (N = 168), mostly high risk	80	62 Gy given in 3.1-Gy fractions	9 years	Moderate hypofractionation not superior to standard	Overall, toxicity similar, but greater macroscopic hematuria for moderate hypofractionation (P = .009)
RTOG 0415 <sup>5</sup> (N = 1,115), low to intermediate risk	73.8	70 Gy given in 2.5-Gy fractions	5.8 years	Moderate hypofractionation noninferior to standard	More grade 2 GU and GI late toxicity for moderate hypofractionation but not grade 3
CHHiP <sup>1</sup> (N = 3,216), intermediate risk	74	60 Gy given in 3-Gy fractions and 57 Gy given in 3-Gy fractions	62 months	Moderate hypofractionation given in 3 Gy × 20 fractions is noninferior to standard	Overall, no significant differences in toxicity, although patterns of toxicity different, with more acute toxicity for the hypofractionated group and more later toxicity for the standard fractionated group
HYPRO <sup>6,7</sup> (N = 820), high risk	78	64.6 Gy given in 3.4-Gy fractions in 3 fractions/week	60 months	Moderate hypofractionation not superior to standard	Noninferiority of moderate hypofractionation could not be excluded, and late grade 3 or worse toxicity significantly higher for moderate hypofractionation $(P = .021)$
FCCC, <sup>8</sup> (N = 303), mostly high risk	76	70.2 Gy given in 2.7-Gy fractions	68.4 months	Moderate hypofractionation not superior to standard	No differences in late toxicity, although for patients with preexisting urinary symptoms, greater incidence of late grade 2 or higher GU toxicity
MD Anderson <sup>9</sup> Cancer Center (N = 203), intermediate risk	75.6	72 Gy given in 2.4-Gy fractions	6 years	Moderate hypofractionation not superior to standard	Nonsignificant increase in late GI toxicity for moderate hypofractionation; toxicity associated with rectal irradiation dose distribution

Abbreviations: CHHiP, Conventional Versus Hypofractionated High-Dose Intensity-Modulated Radiotherapy for Prostate Cancer; FCCC, Fox Chase Cancer Center; GU, genitourinary; HYPRO, Hypofractionated Versus Conventionally Fractionated Radiotherapy for Patients With Localized Prostate Cancer; PROFIT, Prostate Fractionated Irradiation Trial; RTOG, Radiation Therapy Oncology Group.





Seminars in RADIATION ONCOLOGY



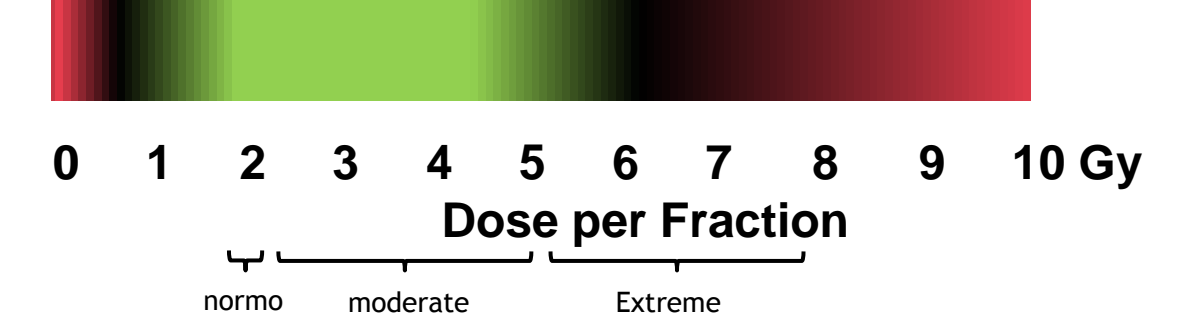
Seminars in RADIATION ONCOLOGY

The Linear-Quadratic Model Is an Appropriate Methodology for Determining Isoeffective Doses at Large Doses Per Fraction The Linear-Quadratic Model Is Inappropriate to Model High Dose per Fraction Effects in Radiosurgery

John P. Kirkpatrick, MD, PhD, Jeffrey J. Meyer, MD, and Lawrence B. Marks, MD

LQ : Range of applicability

David J. Brenner, PhD, DSc



Benzten SM (Estro 2017)



### Exemple de la prostate

### Hypo-fractionnement sévère

Clinical Investigation: Genitourinary Cancer

Radiation Oncology biology • physics

# Predictors of Rectal Tolerance Observed in Dose-Escalated Phase 1-2 Trial of Stereotactic Body Radiation Therapy for Prostate Cancer

Fig. 2. Organe en série : une irradiation transverse, même d'un petit volume (en grisé), sera responsable d'un arrêt fonctionnel total.

V60<50% V70<25% V74<5%

Kim et al , IJROBP Juin 2014 Rectum :  $\alpha/\beta = 5$ 5 fractions 24 Gy: BED 47 Gy 39 Gy: BED 100 Gy 50 Gy: BED 150 Gy 24 Gy. 50 Gy 39 Gv EPCE132han

BED =  $nd(1+d/(\alpha/\beta))$ 

Prostate :  $\alpha/\beta = 3.5$  Prostate :  $\alpha/\beta = 1.5$ 

5 fractions 5 fractions BED 56 Gy BED 100 Gy BED 92 Gy BED 241 Gy BED 120 Gy BED 383 Gy

> 6/91 patients Grade 3 -4 (5 colostomies) 50 Gy > 3cm<sup>3</sup>

Plan Cancer 2014-2019 : « qualité de vie »



# Nécessité de faire évoluer les concepts !

L'irradiation entraine d'autres effets que la « mort » (=> DYSFONCTIONS) à l'origine d'effets biologiques déterministes

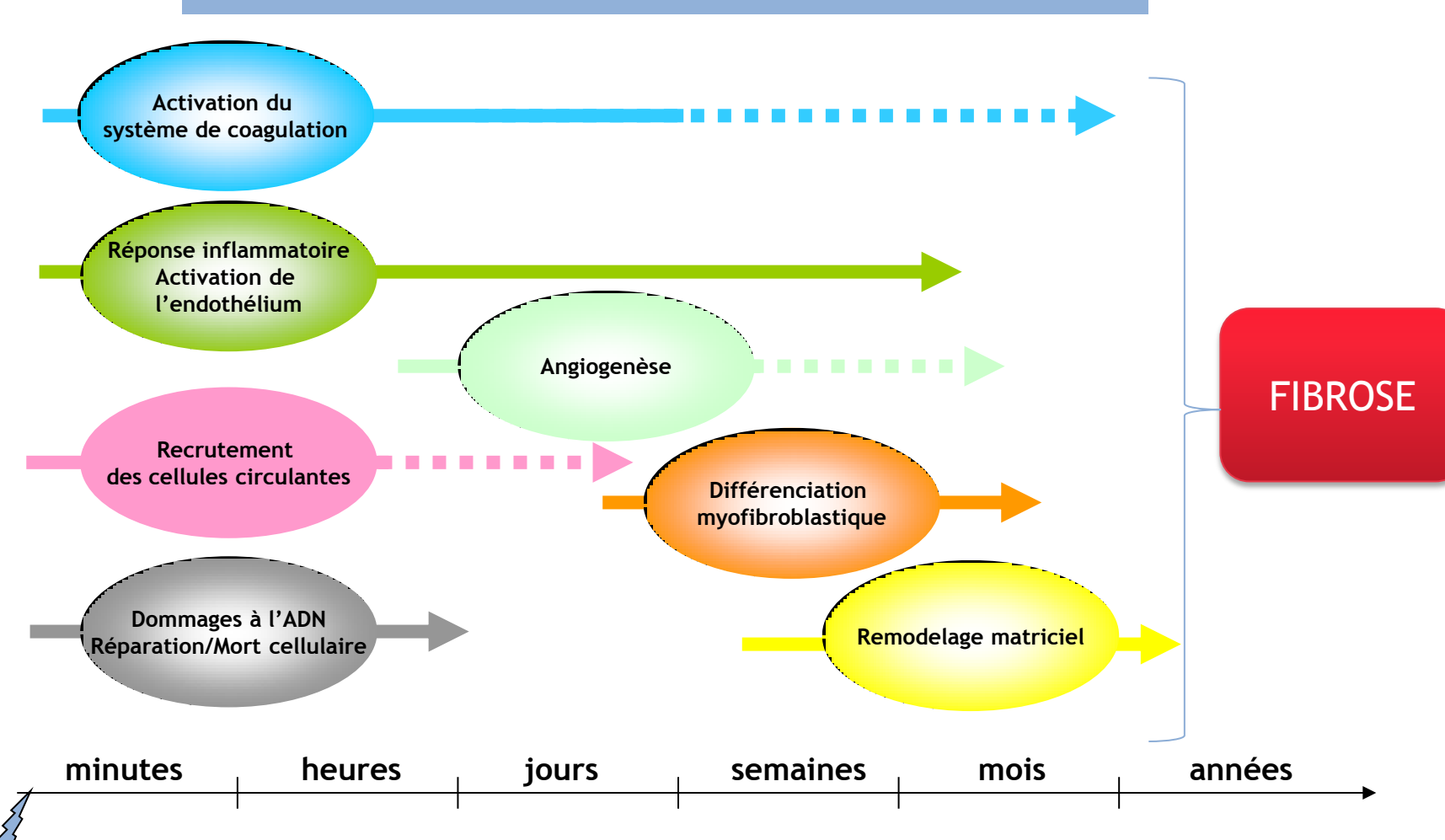
Le test de survie clonogénique ne peut « à lui seul» prédire un effet biologique et par extrapolation un risque

Imaginer un outil de prédiction de risque/effet basé sur la détermination du nombre de cellules qui ne survit pas <u>et</u> de l'état (phénotype) de celles qui survivent (effets cibles et non-cibles)



### Les lésions tissulaires radiques : un continuum d'effets

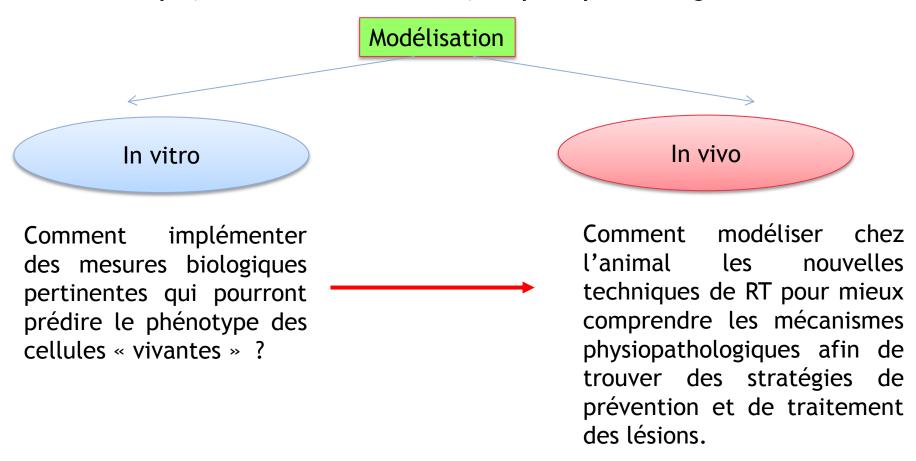
Réponse complexe multiple - séquencée - orchestrée - intégrée







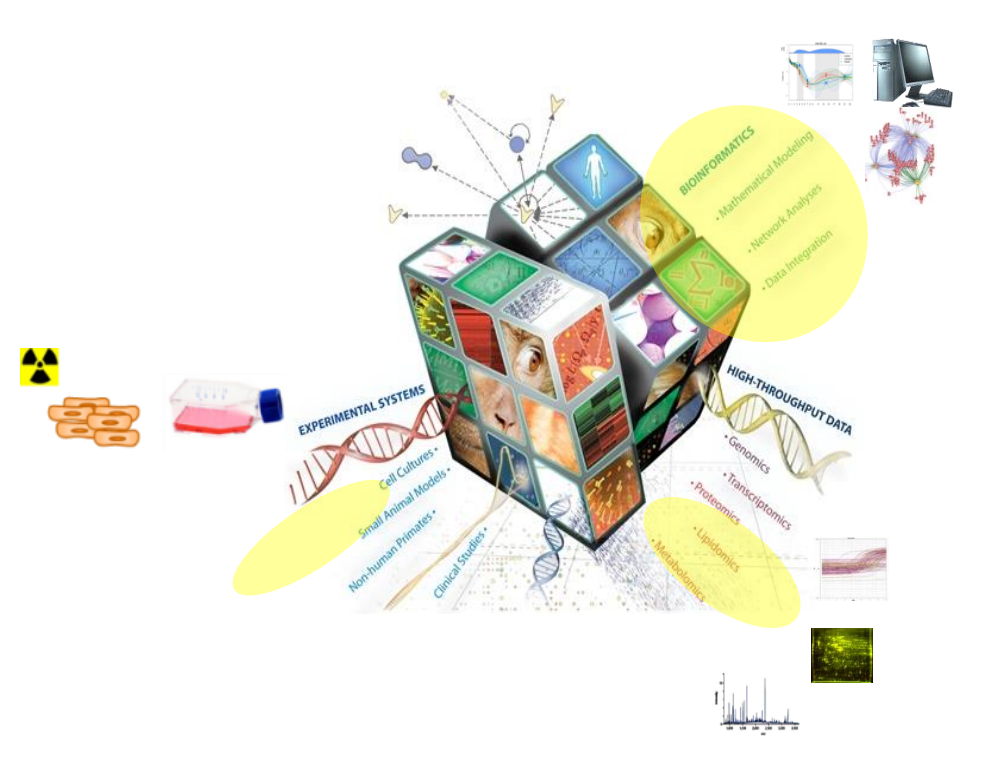
# Une recherche pour la radioprotection en phase avec les « nouveaux » concepts, les « nouveaux » outils, les pratiques émergentes



**Programme IRSN ROSIRIS** RadiobiOlogie des Systèmes Intégrés pour l'optimisation des traitements utilisant des rayonnements ionisants et évaluation du RISque associé



# Une approche de biologie des systèmes pour comprendre les événements moléculaires impliqués dans la dysfonction radio-induite des cellules irradiées



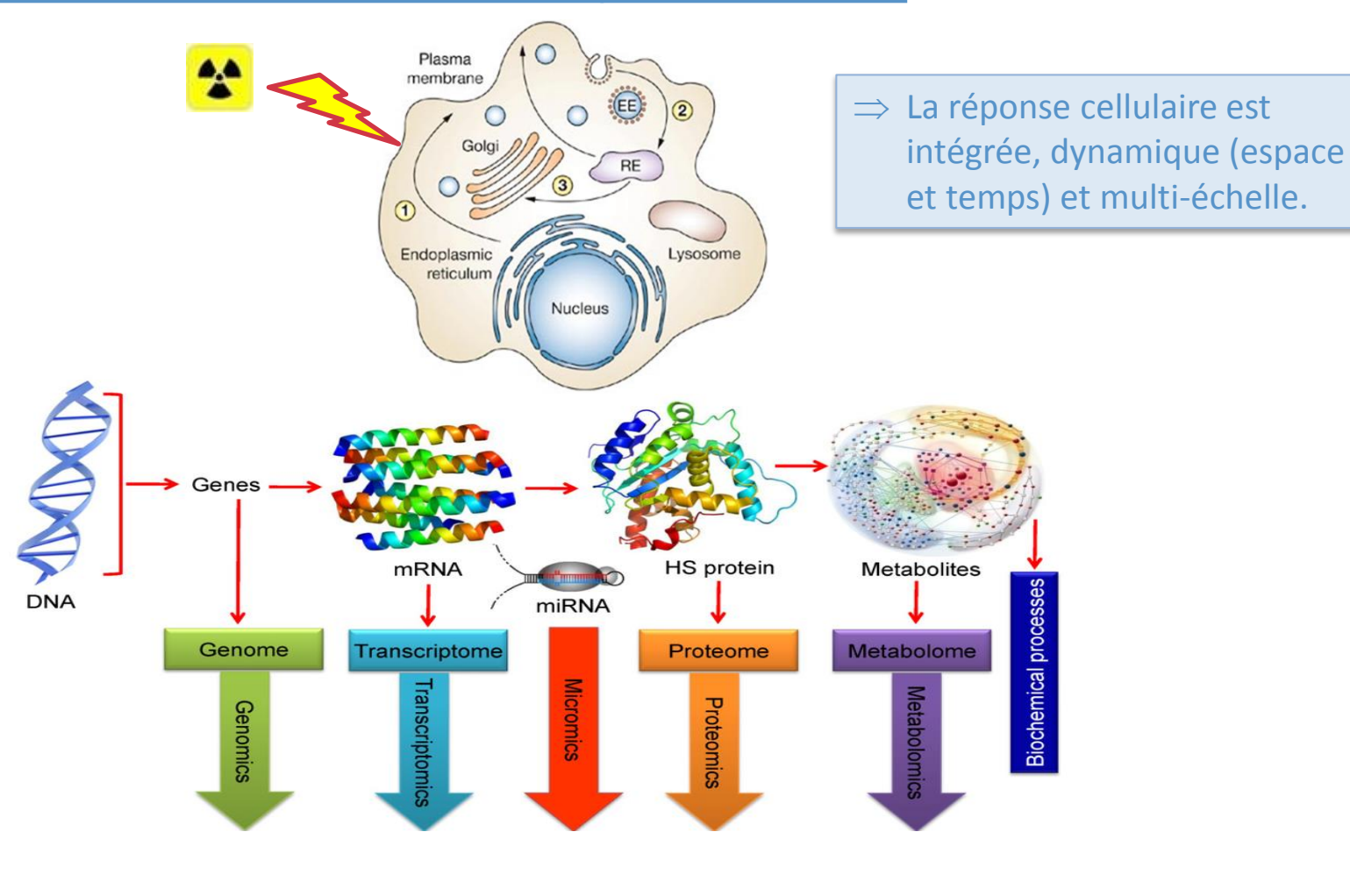
Approche Holistique visant à comprendre dans sa globalité les comportements des réseaux moléculaires, et en particulier leurs aspects dynamiques, ce qui requiert de construire des modèles mathématiques à partir des données expérimentales

### Expertise multidisciplinaire

Radiobiologie, biologie moléculaire, biochimie, « omiques », bioinformatique, mathématiques



### Cinétique des évènements moléculaires après irradiation:

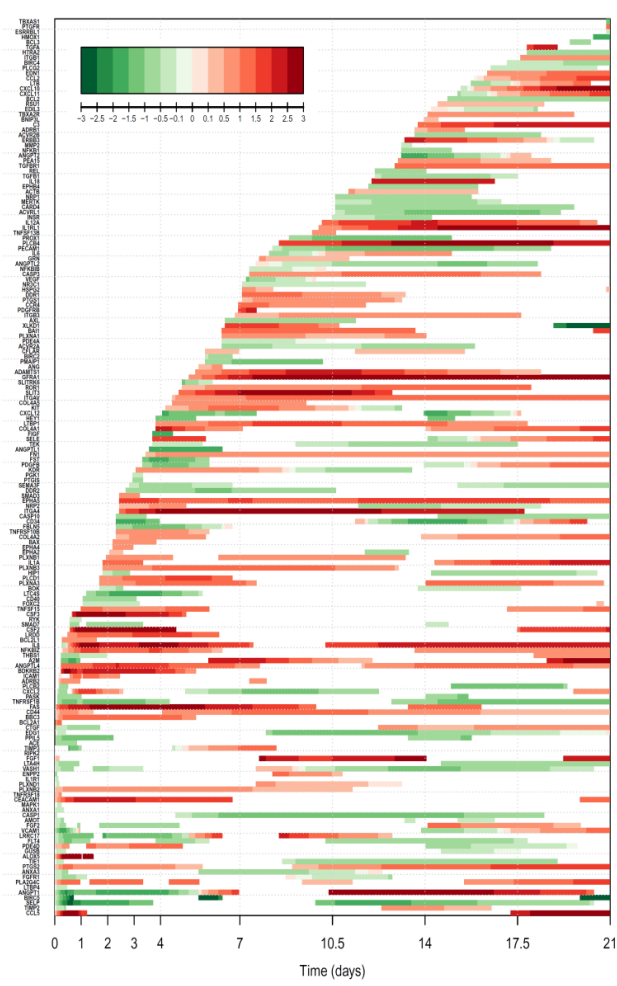


Phénotype / Fonction altérée

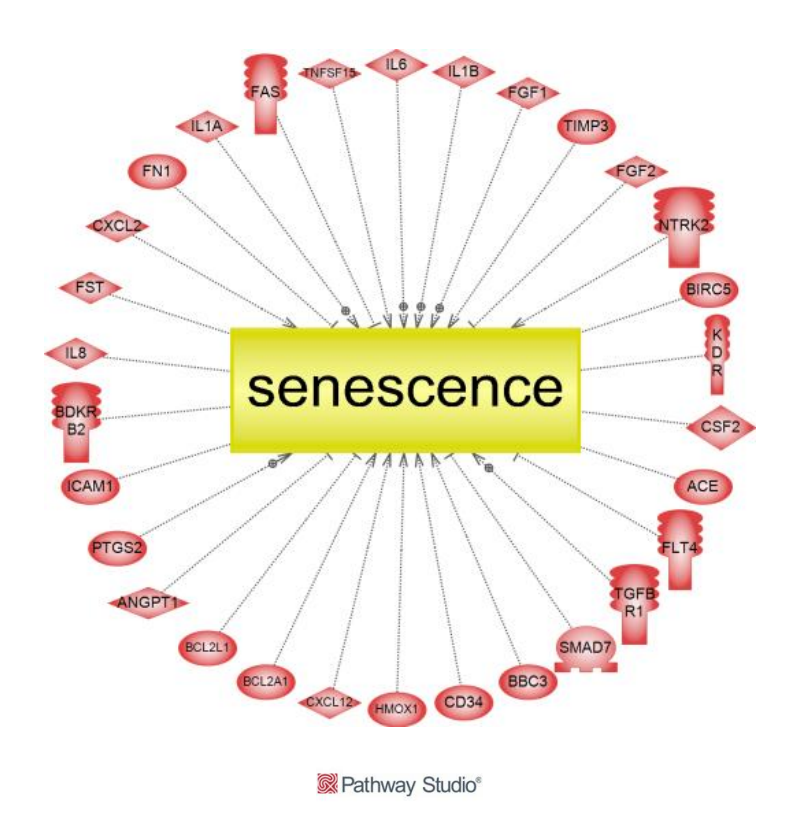


### 0 vs 20 Gy

174 differential genes
Fold change differences of differentially expressed genes with log ratio > 1.5



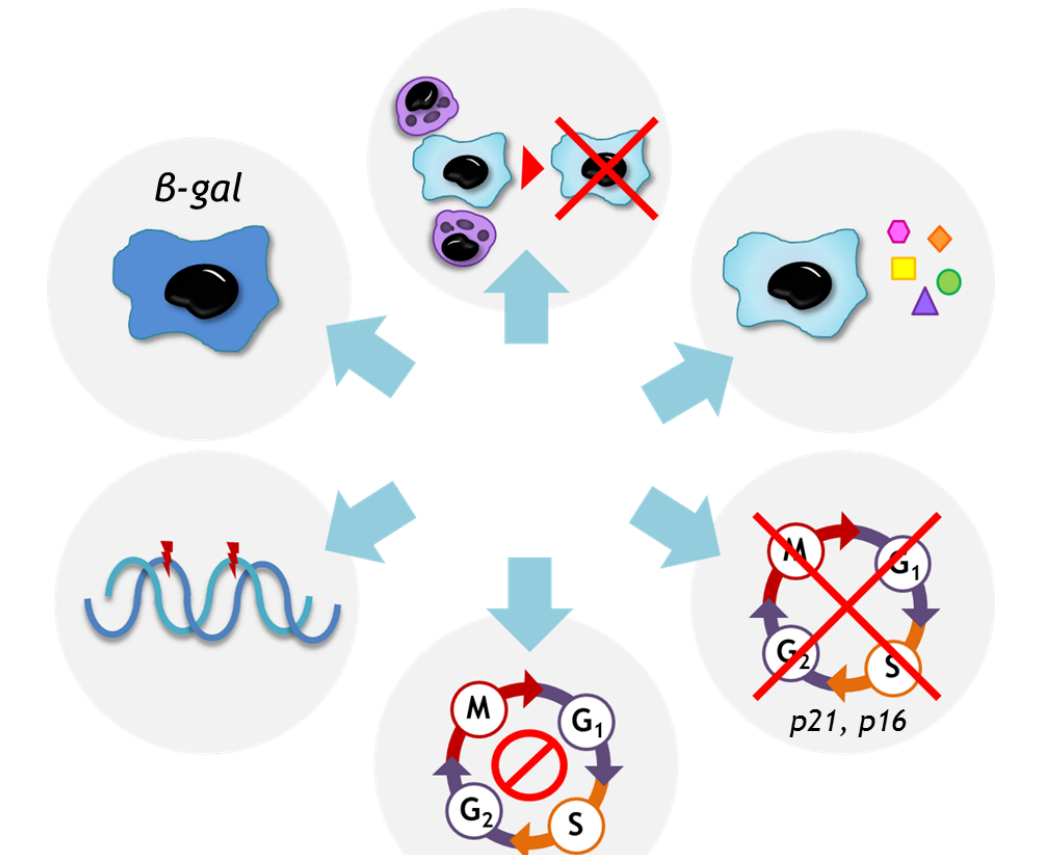
Cascade de gènes différentiellement exprimés à 20 Gy vs 0 Gy en utilisant la méthode publiée en collaboration avec Université d'Evry (Heinonen et al. 2015, Bioinformatics)

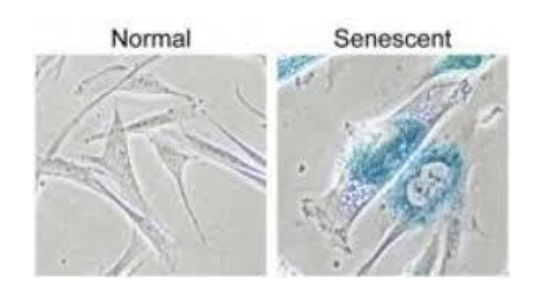


Gènes différentiellement exprimés au cours du temps et qui ont un lien (bibliographique) avec la sénescence



### La sénescence





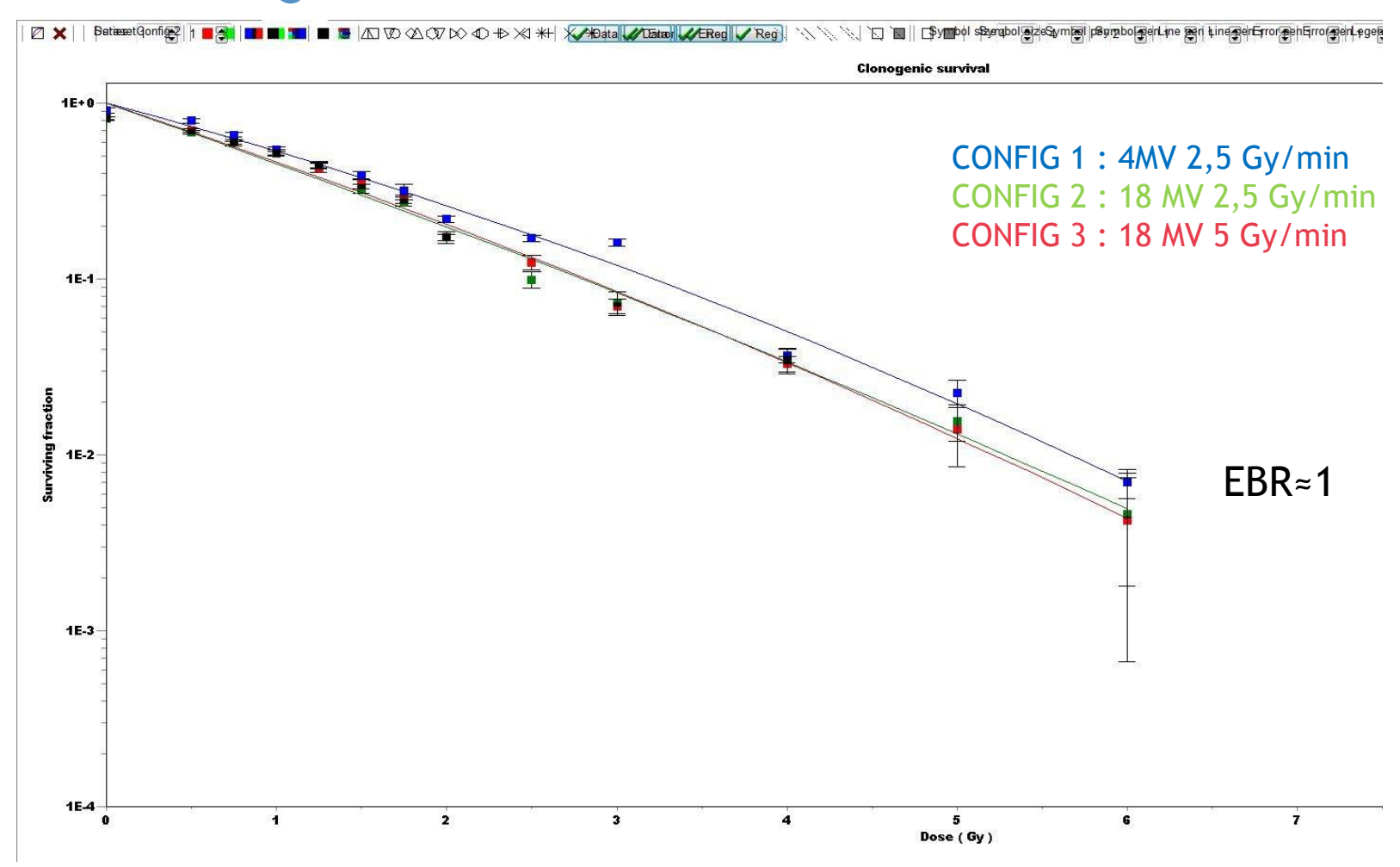
Hypertrophie cellulaire

D'après Burton et Krizhanovsky, CMLS 2014

La cellule sénescente est considérée « morte » au sens radiobiologique (*ie* survie clonogénique) C'est une cellule vivante métaboliquement très active qui participe aux lésions radiques



### Test de clonogénicité

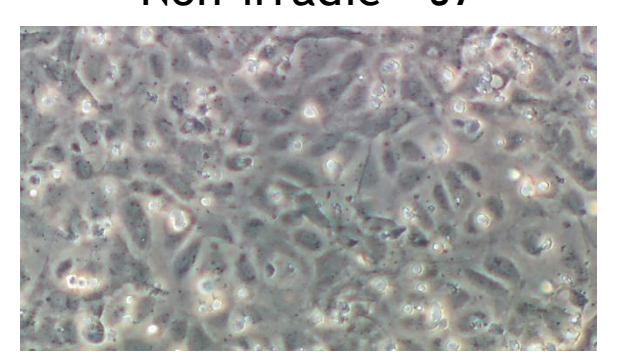


Mis au point sur modèle HUVECs Gamme de 12 doses d'irradiation (0/0,5/0,75/1/1,25/1,5/1,75/2/2,5/3/4/5 et 6 Gy)

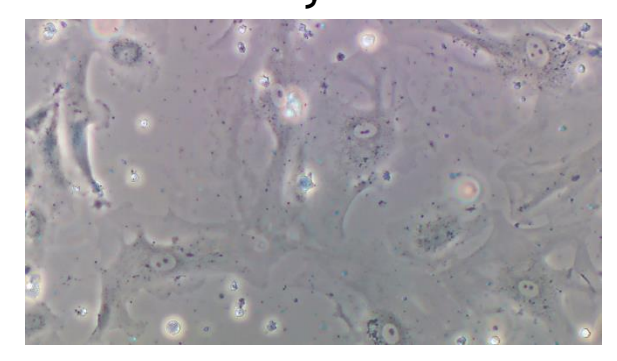


### Sénescence des HUVEC

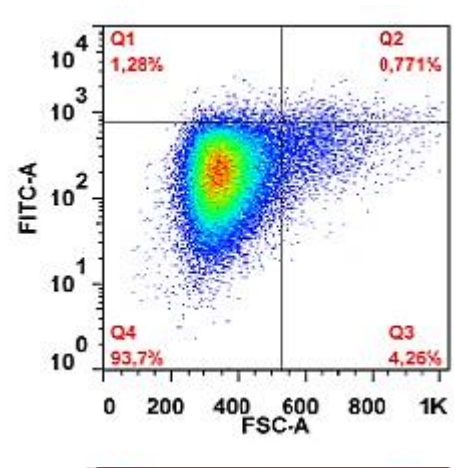


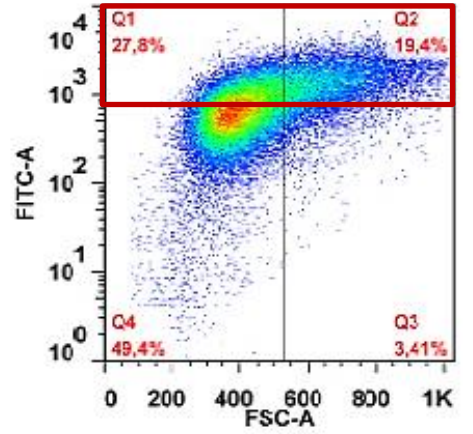


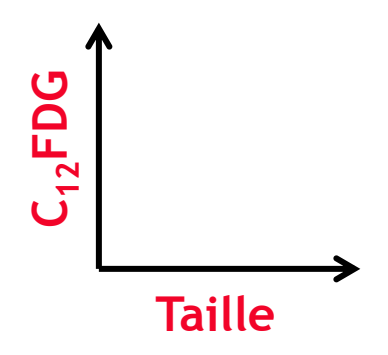
20 Gy - J7

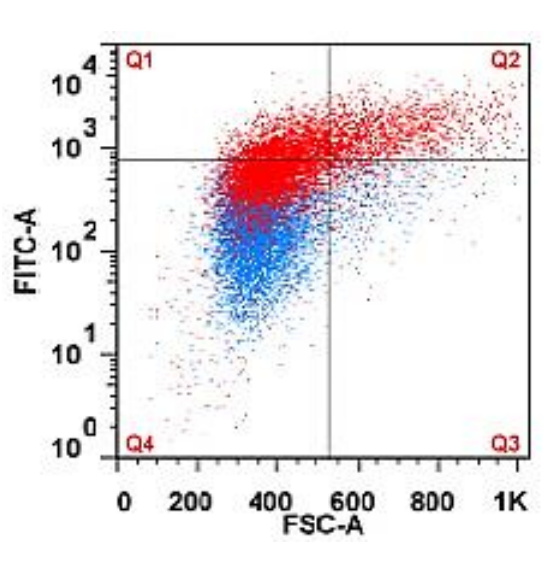


Débit : 2,5 Gy/min Tension : 4 MV



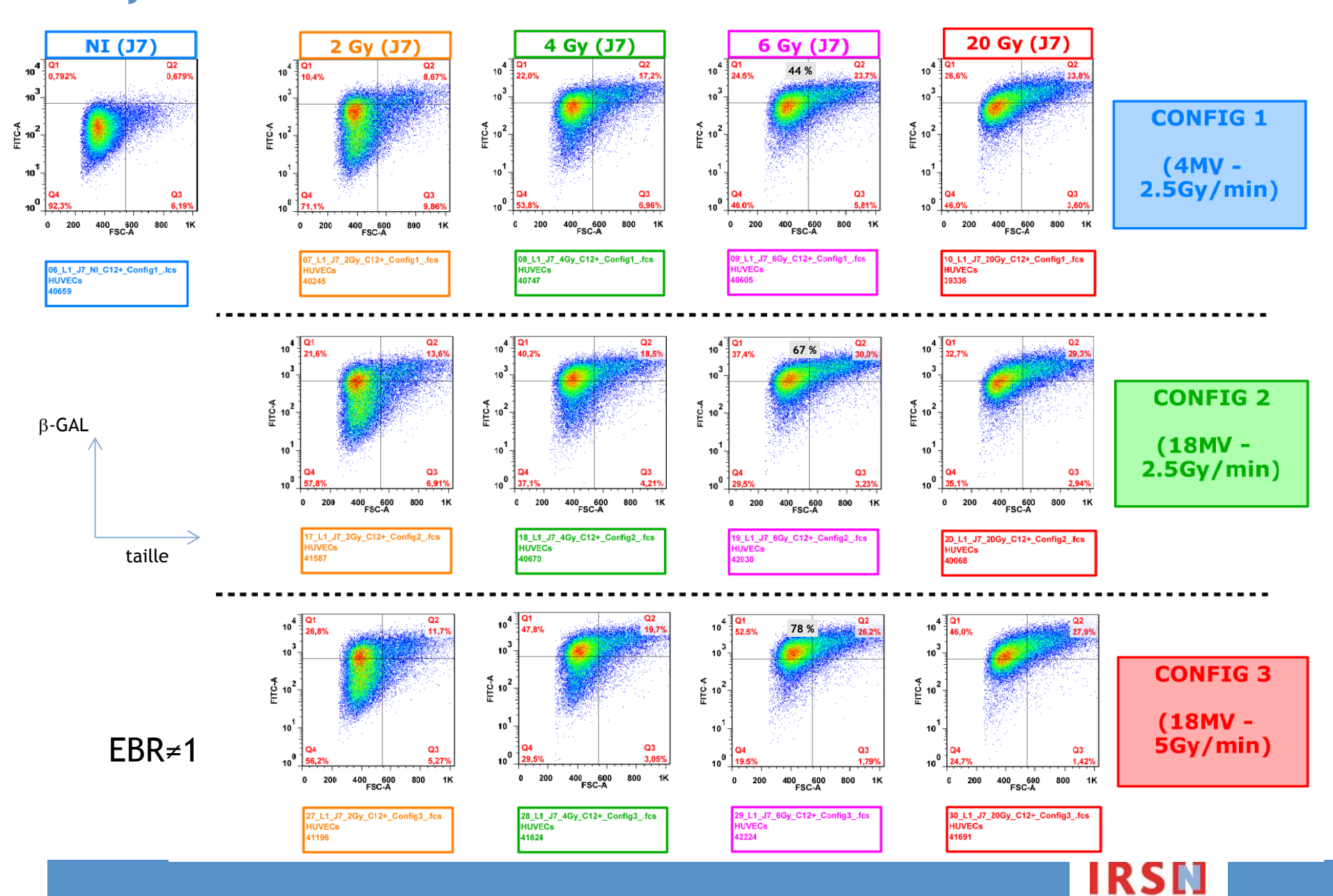




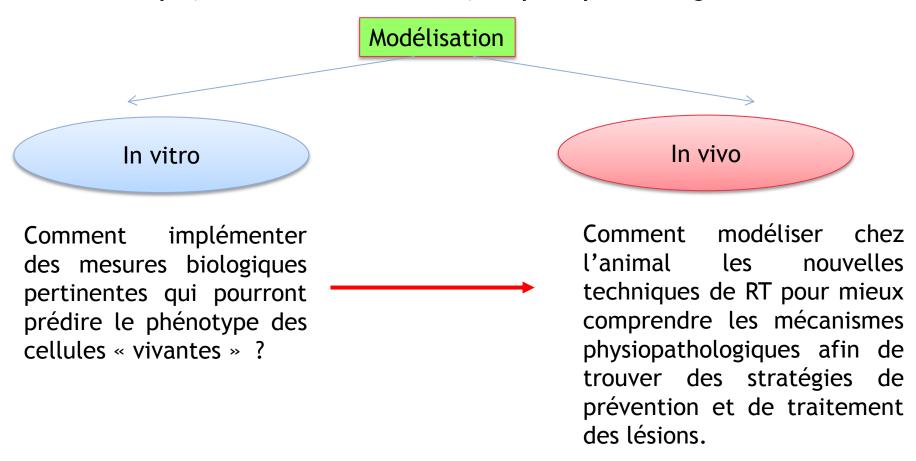




### Cytométrie en flux : sénescence et taille des cellules => LINAC



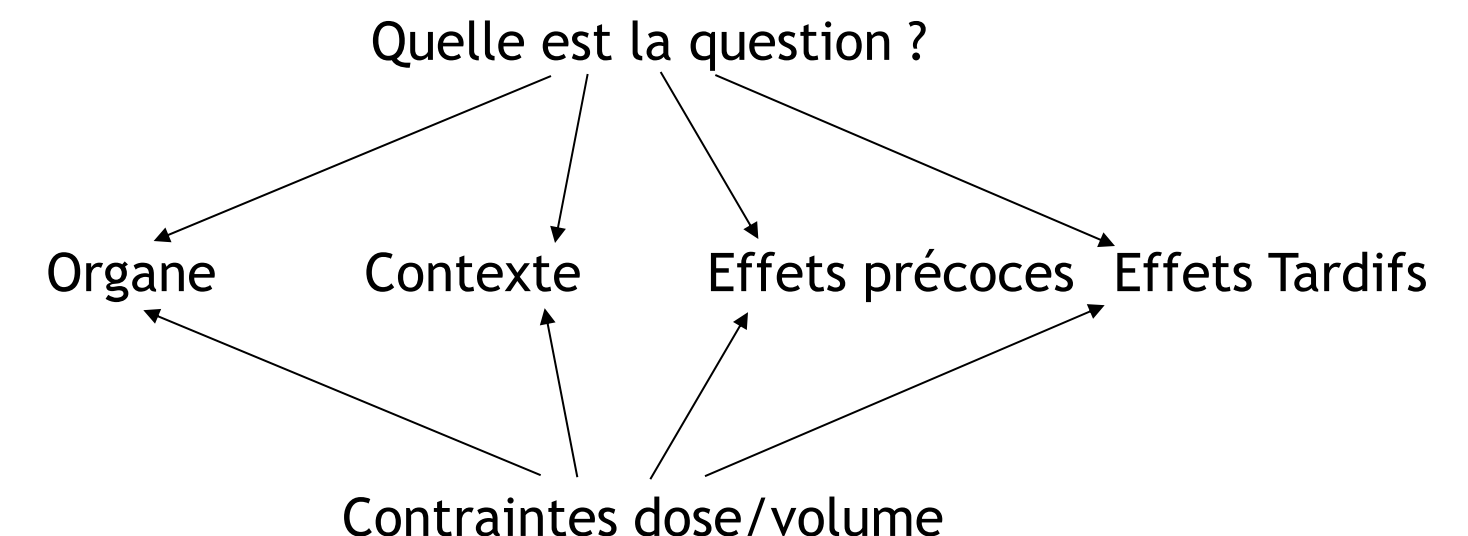
# Une recherche pour la radioprotection en phase avec les « nouveaux » concepts, les « nouveaux » outils, les pratiques émergentes



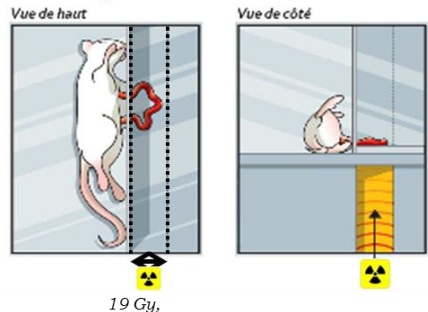
**Programme IRSN ROSIRIS** RadiobiOlogie des Systèmes Intégrés pour l'optimisation des traitements utilisant des rayonnements ionisants et évaluation du RISque associé



### Modélisation pré-clinique des complications des RT : un challenge !

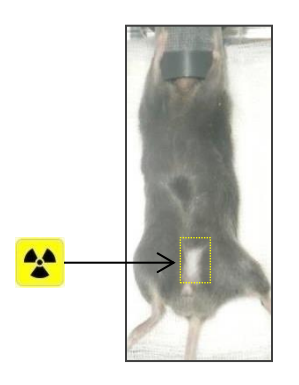


#### Entéropathie radio-induite



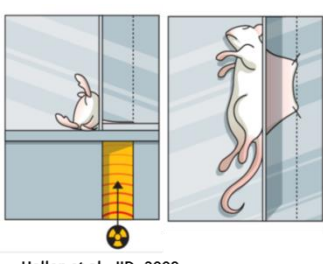
Zheng H, etal Gastroenterology. 2000 Milliat et al , Am J path, 2008 Abderrahmani et al, IJROBP, 2009 Abderrahmani et al, Plos One, 2012 Hneino et al, PLos One 2012 Hneino et al, JBC 2012 Rannou et al, Scientific Reports 2015

### Lésions colorectales radio-induites



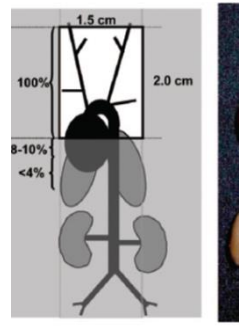
Blirando et al , Am J path, 2011 Mintet et al Am J path, 2015 Blirando et al , Dig Dis Sci, 2015 Mintet et al , Scientific Reports 2017 Loinard et Al , Rad Res 2017

Lésions cutanées radio-induites



Holler et al, JID, 2009 Chaze et al, Mol Cell Proteomics 2013

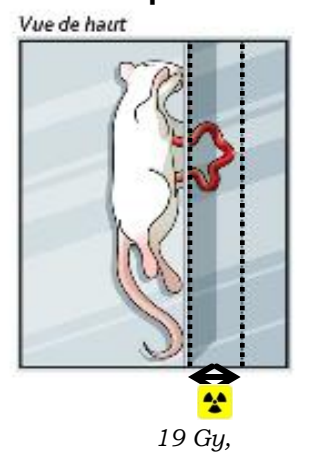
#### Athérosclérose radio-induite

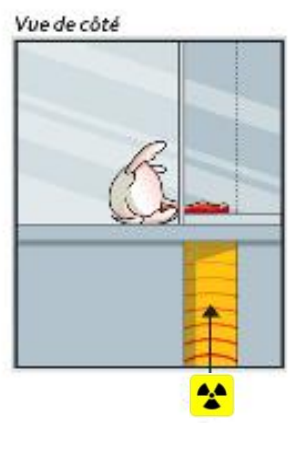




Stewart et Al

### Entéropathie radio-induite



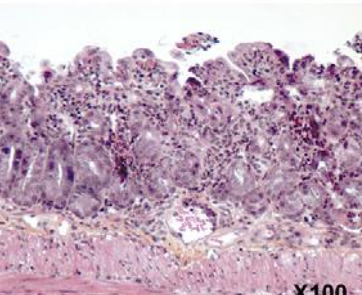




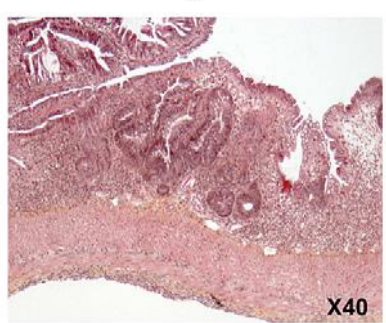
**Sham** 



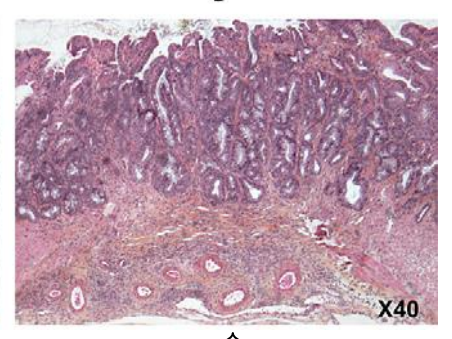
19 Gy D3



19 Gy D14

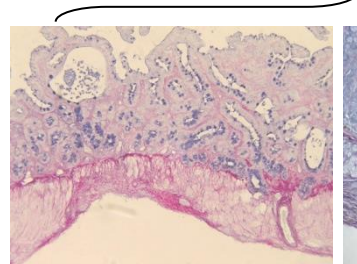


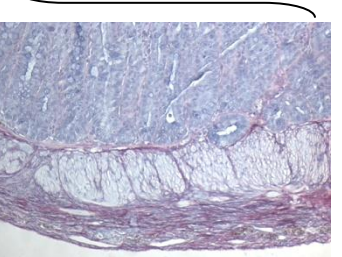
19 Gy D42



Zheng H, et al Gastroenterology. 2000

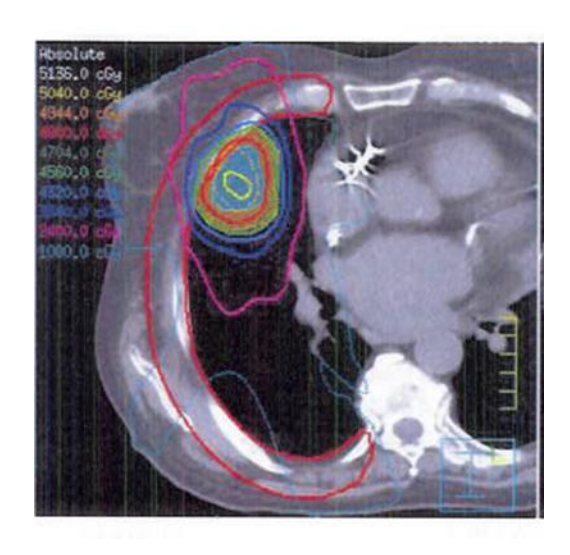
Milliat et al, Am J path, 2008 Abderrahmani et al, IJROBP, 2009 Abderrahmani et al, Plos One, 2012 Hneino et al, PLos One 2012 Hneino et al, JBC 2012







### Le cas des fortes doses par fraction





### Small Animal Radiation Research Platform

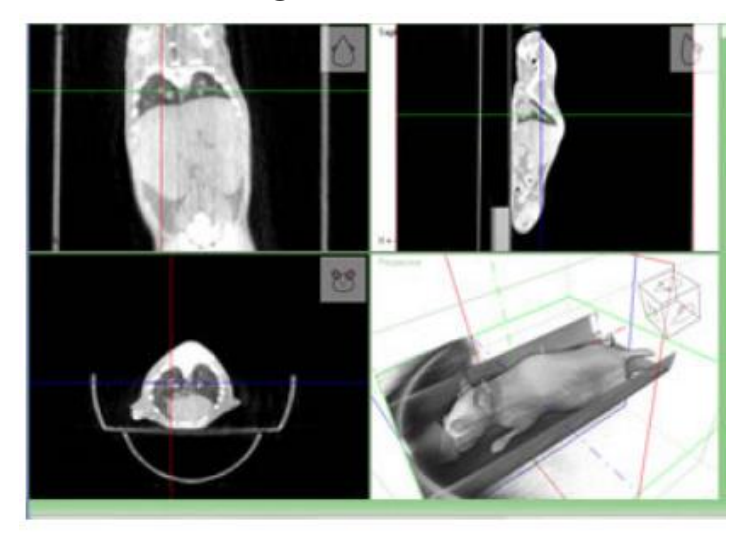


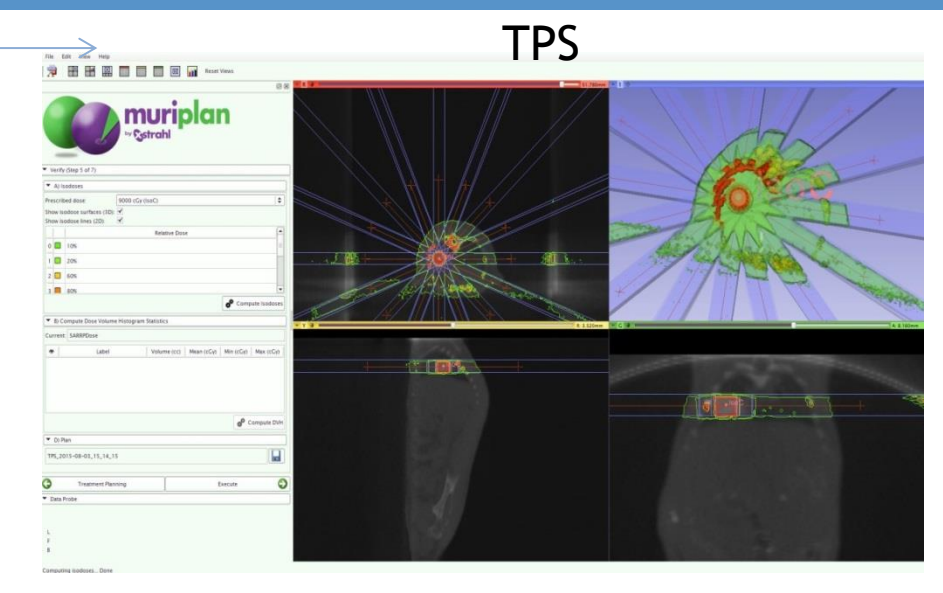






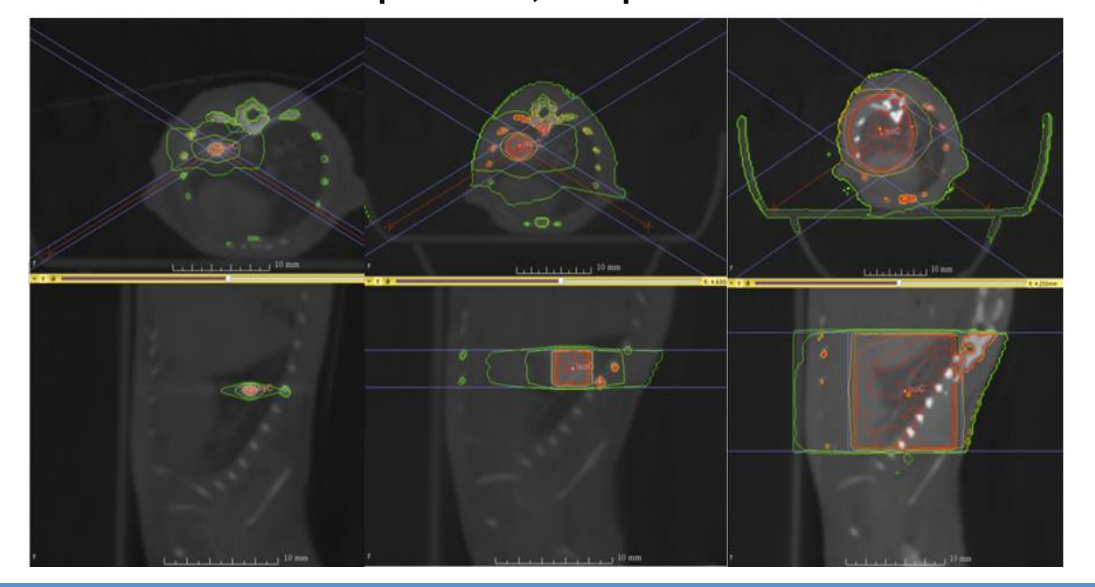
### Imagerie Scanner





Isodoses 3D, ARC therapy 250

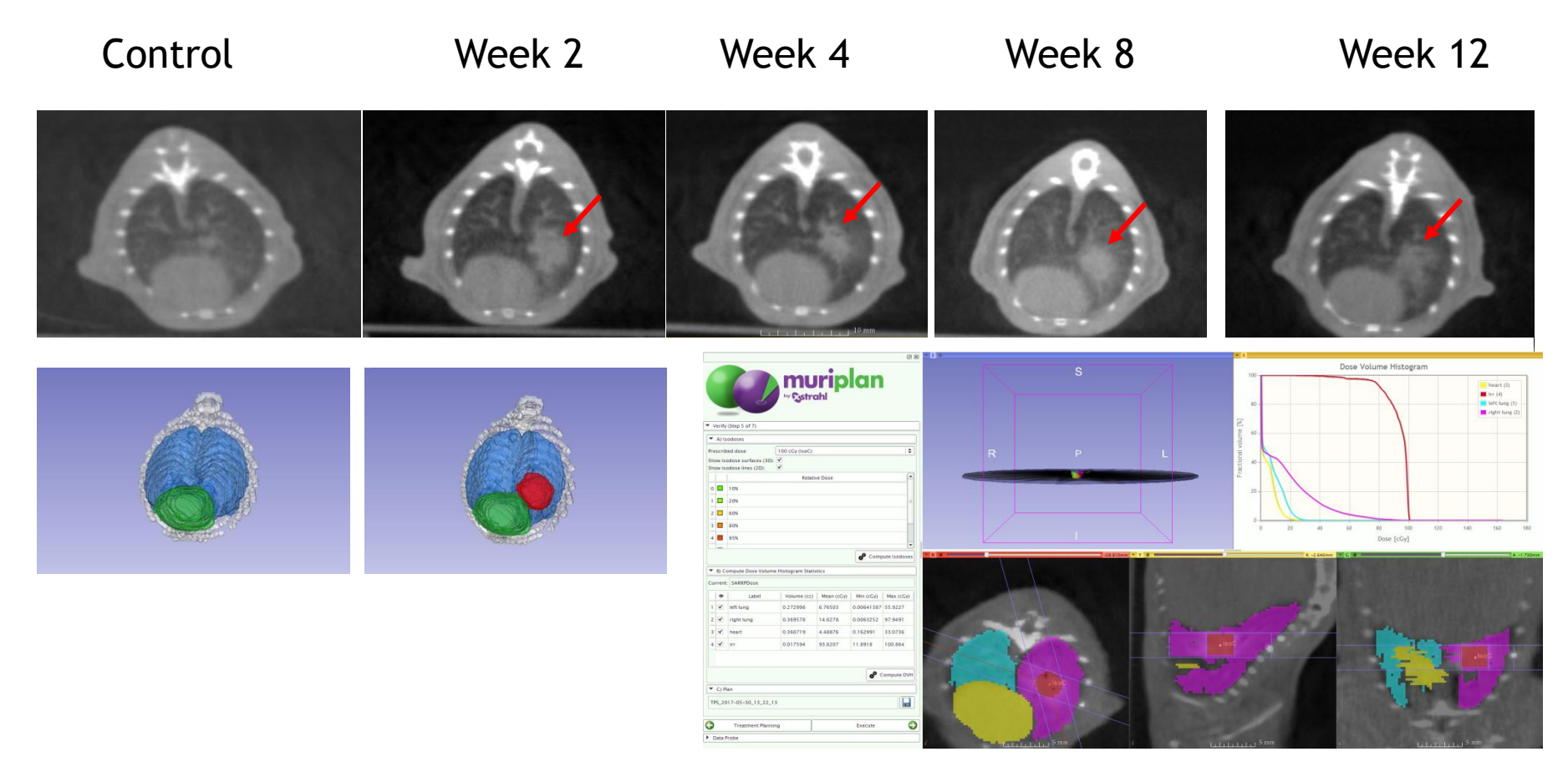
### Balistique +++, repositionnement +++ fractionnement +++



Permet de modéliser des irradiations en conditions stéréotaxiques et d'aborder in vivo la problématique de l'hypofractionnement sévère

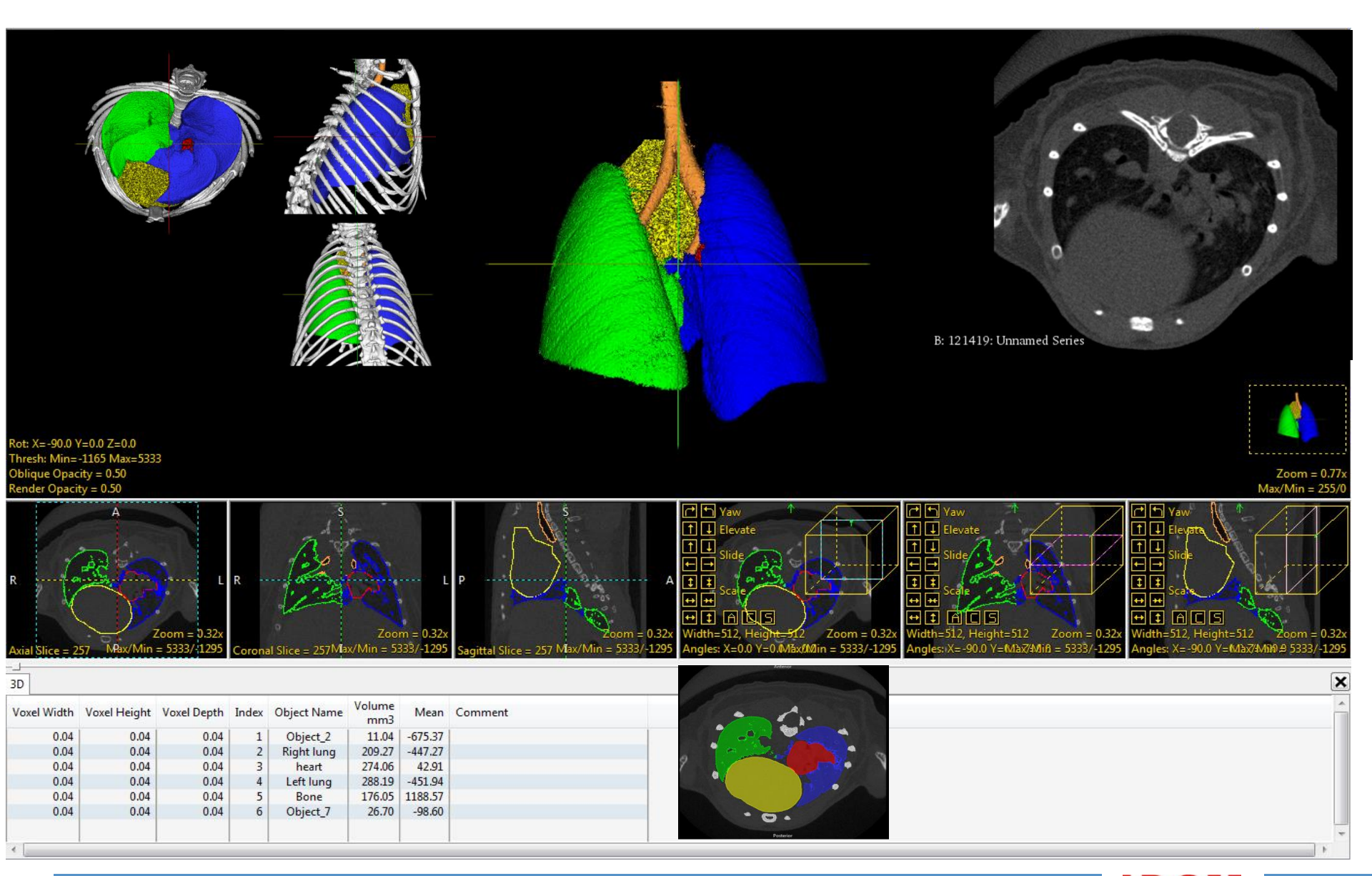








### Imagerie $\mu CT$ et analyse d'image





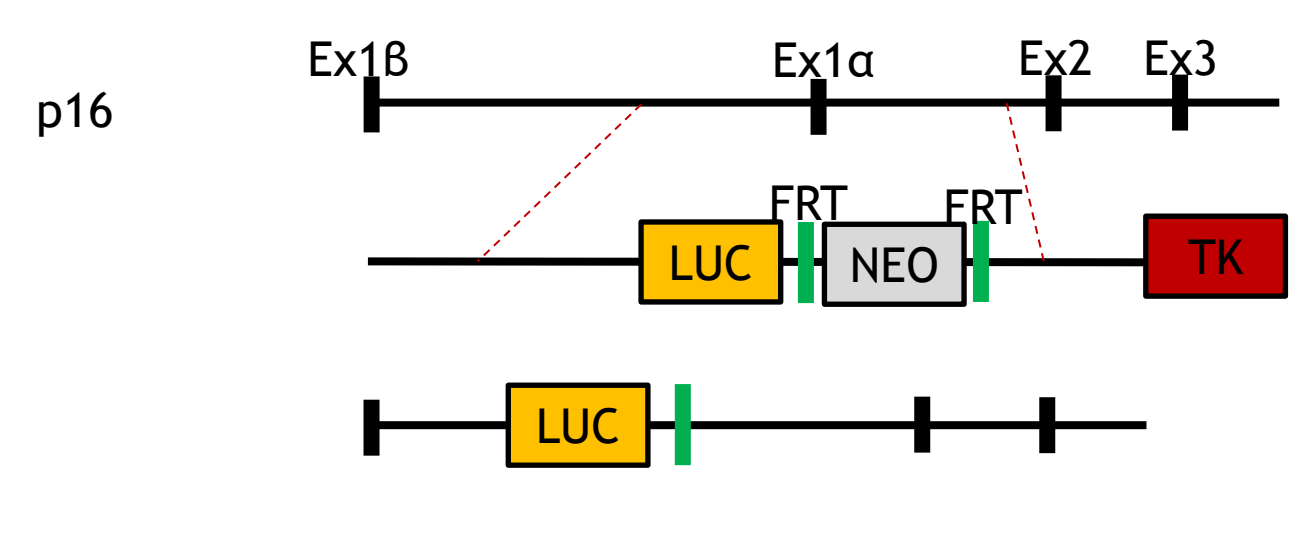


# Monitoring Tumorigenesis and Senescence In Vivo with a *p16*<sup>INK4a</sup>-Luciferase Model

Christin E. Burd,<sup>1,2</sup> Jessica A. Sorrentino,<sup>2,3</sup> Kelly S. Clark,<sup>1,2</sup> David B. Darr,<sup>1,2</sup> Janakiraman Krishnamurthy,<sup>1,2</sup> Allison M. Deal,<sup>2</sup> Nabeel Bardeesy,<sup>4</sup> Diego H. Castrillon,<sup>5</sup> David H. Beach,<sup>6</sup> and Norman E. Sharpless<sup>1,2,\*</sup>

### Souris p16/LUC

Séquence codante de la luciférase sous le contrôle du promoteur p16

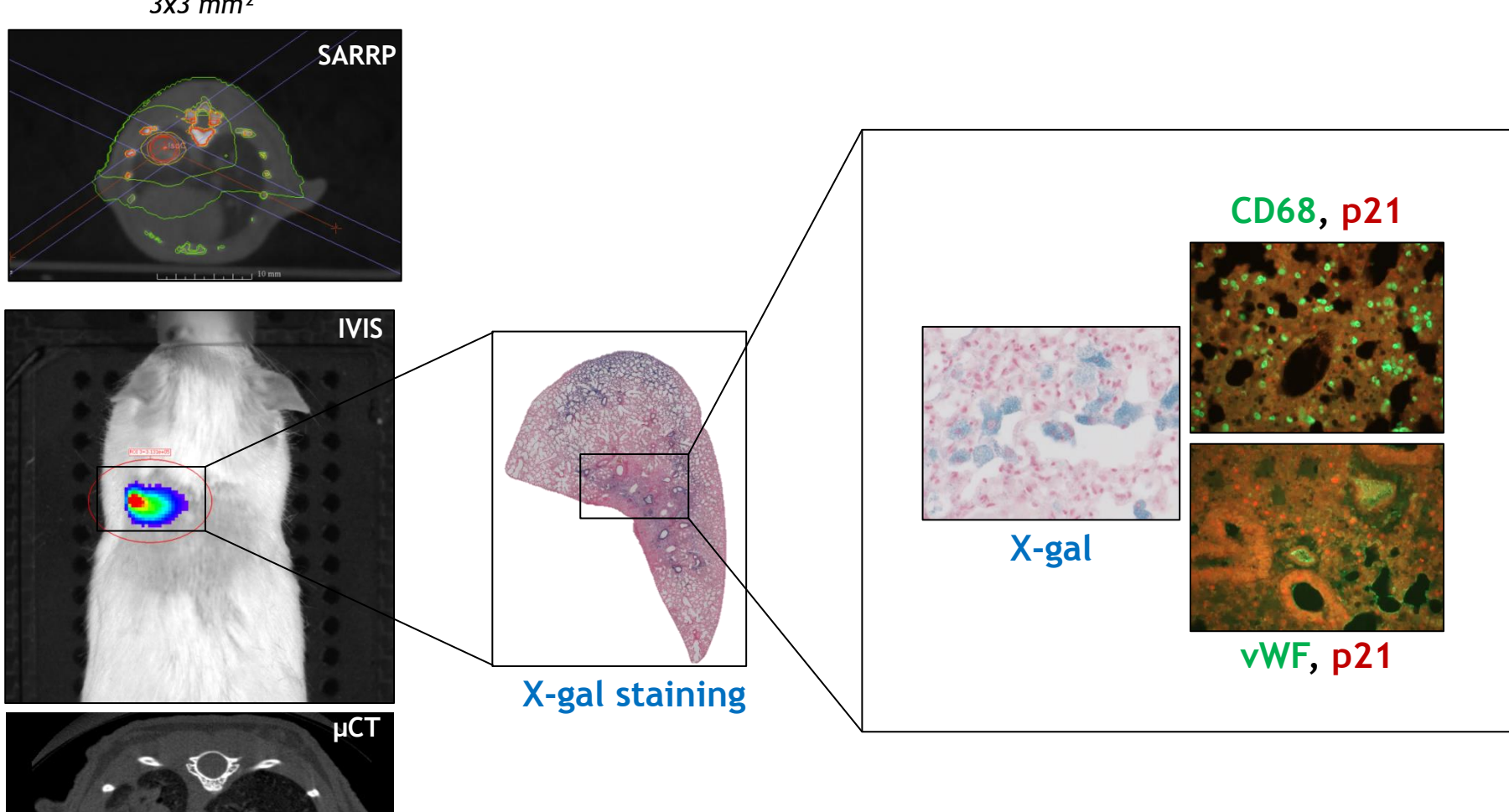


Sénescence in vivo



3x3 mm<sup>2</sup>

. 07.



### Questions en radiobiologie

Quels sont les effets tardifs potentiels de très fortes doses délivrées sur des petits volumes de tissus sains ? pour les organes organisés en série ? En parallèle ?

Quels sont les effets biologiques des fortes doses par fraction ? des forts débits de dose ?

Quelle est la pertinence du modèle LQ pour les fortes doses/fraction (> 6Gy ?)

Nouvelles pratiques (stéréotaxie) et combinaison avec les nouvelles drogues ?

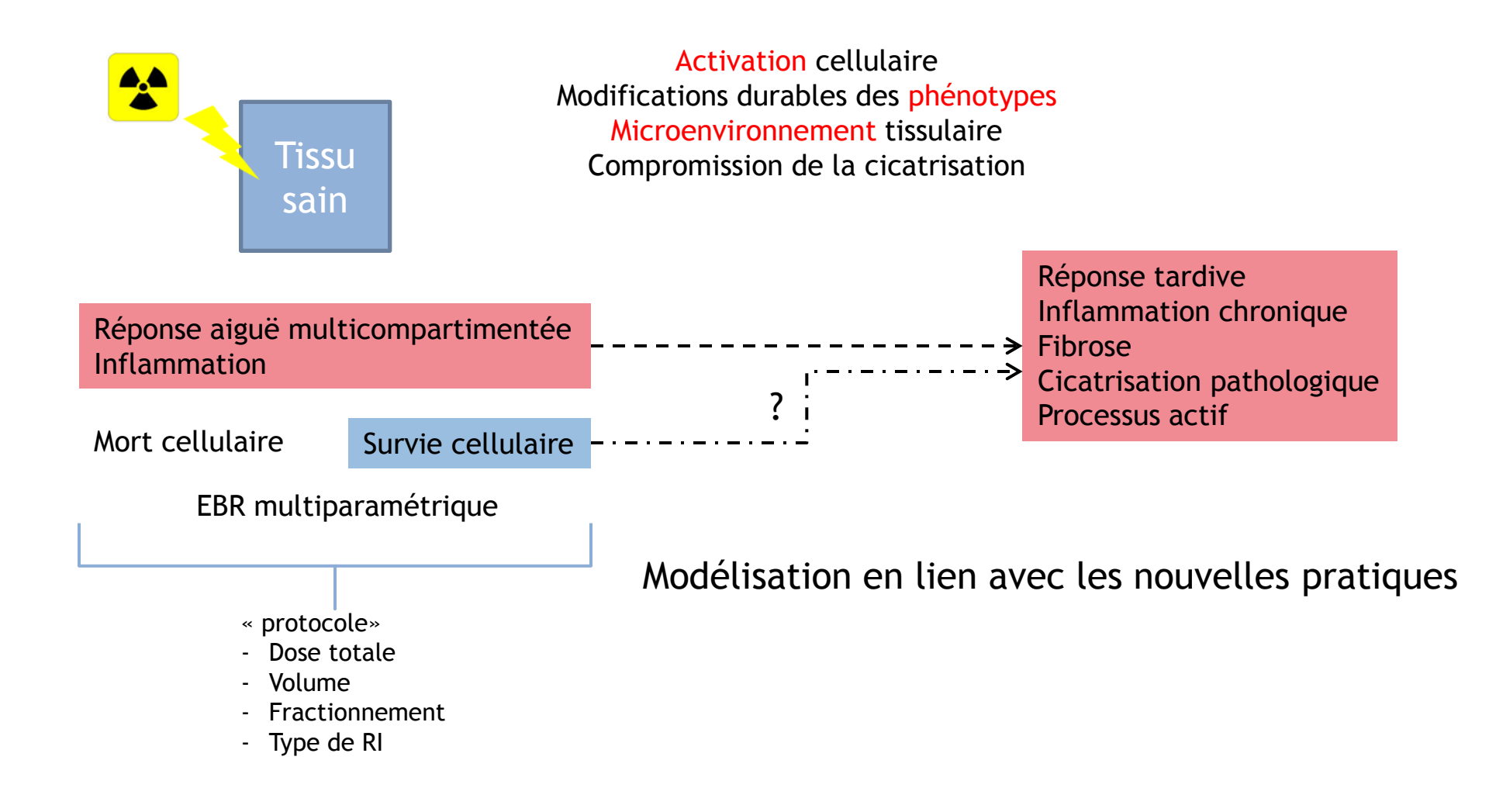
Risques stochastiques (cancer) avec les nouvelles techniques ? Problématique de faibles doses sur de grand volumes

Quels sont les effets biologiques des protons ? Des ions ?

•••



### Recherche sur complications aux tissus sains... les messages... le futur



**Programme IRSN ROSIRIS** RadiobiOlogie des Systèmes Intégrés pour l'optimisation des traitements utilisant des rayonnements ionisants et évaluation du RISque associé



### Merci de votre attention

Questions?

